



CentraleSupélec

Projet ST7 : Protection des réseaux

INES BEN CHERIFA

ALEXIAN HELAINE

ERWAN TISSOT

TERRENCE GRANDCHAMPS

THÉOPHILE BLANPAIN

MAXIME WORMS



CentraleSupélec

2A

CURSUS INGÉNIEUR

2024-2025

Table des matières

1	Motivation du projet	5
1.1	Contexte	5
1.2	Solution actuelle	6
2	Modélisation mathématique	8
2.1	Définition du problème d'optimisation	8
2.2	Mise en équation du problème	8
3	Étude des densités de probabilité	10
3.1	Modèle électrique	10
3.2	Étude théorique du circuit	10
3.3	Construction des densités de probabilité	11
3.3.1	Simulation de Monte Carlo	11
3.3.2	Interpolation permettant de passer d'un histogramme à une densité de probabilité	12
4	Optimisation du code et temps de calcul	14
4.1	le coût de cette vectorisation	16
5	Implémentation d'un algorithme déterministe	18
5.1	Définition du problème d'optimisation	18
5.2	Résultats	19
5.3	Dépendance aux paramètres d'optimisation	20
5.4	Perspectives d'améliorations	22
6	Implémentation d'un algorithme probabiliste	24
6.1	Définition du problème d'optimisation	24
6.2	Réalisation de premiers algorithmes sur des fonctions de densité test	25
6.2.1	Un seul polygone	25
6.2.2	Mise en place d'un deuxième polygone	25
6.3	Reformulation du problème et passage aux vraies densités	26
6.4	Optimisation avec l'Algorithme NSGA-II	27
6.4.1	Courbe ROC	29

6.4.2	Comparaison entre la méthode génétique et la méthode déterministe	30
6.4.3	Conclusion sur la méthode génétique et idées pour aller plus loin	31
7	Étude comparative des solutions	34
7.1	Comparaison des solutions des deux algorithmes	34
7.2	Comparaison avec la solution initiale	34
7.3	Perspectives d'améliorations	35
8	Annexes	36
8.1	Annexe 1 : Code Matlab - Densités de probabilité	36
8.1.1	Calcul de l'impédance équivalente du circuit selon la position du défaut	36
8.1.2	Génération des densités de probabilité via une simulation de Monte Carlo	40
8.2	Annexe 2 : Algorithme Déterministe	47
8.3	Annexe 3 : Points des polygones optimisés.	52
8.3.1	Polygones de la littérature	52
8.3.2	Exemples de polygones obtenus avec fmincon	52
8.3.3	Exemples de polygones obtenus avec NSGAI	52
8.4	Annexe 4 : Algorithme Génétique	53
8.4.1	Algorithme Génétique Pareto	53
8.4.2	Algorithme Génétique avec la fonction objectif de la méthode déterministe	60
8.4.3	Morceau de code à changer afin de modifier le sommet fixe	63
8.5	Annexe 5 : Autre approche pour garantir la convexité des polygones	64

Table des figures

1	Modélisation actuelle de la zone 1	7
2	Modélisation actuelle de la zone 2	7
3	Modélisation des lignes réseaux	10
4	Masque de convolution appliqué aux histogrammes . . .	13
5	Comparaison "avant/après" la méthode de lissage	14
6	Temps de calcul d'une simulation (x,y)	15
7	Temps de calcul d'une simulation (x,y) vectorisé	16
8	Solution minimale obtenue avec $\beta = 140$ avec 150 départs. VP = 0.91469 FP = 0.0102	19
9	Autre solution obtenue avec $\beta = 140$ avec 150 départs. VP = 0.9097 FP = 0.0092	20
10	Valeurs des objectifs pour chaque solutions issues d'une optimisation à partir d'un point initial différent.	21
11	Solution trouvée sans prendre en compte VN ni FN. . .	21
12	Tentative d'implémentation de l'optimisation par dérivée de forme	23
13	Exemple d'optimisation d'un polygone avec son front de Pareto.	25
14	Optimisation de la frontière	26
15	Exemple de frontière bruitée avec 20 points d'optimisation.	27
16	Exemple de frontière pour minimiser les FP	28
17	Exemple de frontière pour maximiser les VP en minimisant les FP	29
18	Exemple de courbe ROC obtenue avec aire sous la courbe = 0.7642	30
19	Méthode NSGAI, même fonction objectif que la méthode déterministe mais en fixant les 2 points sur la frontière .	31
20	Sommet fixe à (15,27)	33
21	Sommet fixe à (15,27)	33
22	Polygone de la littérature trouvé par calculs. VP = 0.826 FP = 0.001	34

23	Comparaison des trois zones de coupure instantanée obtenue.	35
24	Décagone obtenu avec la fonction objectif contenant le rapport $\frac{p}{V}$	68

1 Motivation du projet

1.1 Contexte

La protection des réseaux est un enjeu crucial de nos jours. Prenons l'exemple des lignes à haute tension en France. Celles-ci peuvent présenter, ponctuellement, ce que nous appellerons par la suite un défaut, par exemple, un arbre qui tombe sur une ligne. Lorsqu'il y a présence d'un défaut sur une ligne, il est nécessaire de couper celle-ci dans les plus brefs délais afin de ne pas générer de complications. L'arrêt d'une ligne n'est pas gênant dans la mesure où le réseau assure une sécurité N-1 : le réseau est toujours opérationnel lorsque l'on enlève une de ses lignes. Au-delà d'une ligne coupée, l'intégrité du réseau n'est plus assurée. Il est nécessaire de garantir cette sécurité pour ne pas entraîner de surtensions qui pourraient, à terme, causer un *blackout*.

Il est donc primordial de savoir détecter les défauts rapidement et précisément. Pour cela, des transformateurs sont placés à chaque relais pour mesurer tension et courant. L'impédance au relais en est déduite et si elle diffère de l'impédance attendue à cause d'un défaut sur la ligne, un disjoncteur la coupe.

Cependant, deux problèmes principaux nous empêchent de couper une ligne à la moindre variation d'impédance :

- le cas où la variation d'impédance est due au fonctionnement d'un appareil branché sur le réseau (variations minimales en général mais non négligeables parfois (par exemple avec le démarrage d'un train)) ;
- le cas où l'impédance mesurée appartient à une zone d'incertitude où l'on n'est pas bien certain que le défaut soit effectivement sur la première ligne ou sur la suivante : dans ce cas, il est nécessaire de laisser passer un certain délai pour obtenir la confirmation.

Il est donc absolument nécessaire de considérer ces cas-là pour ne pas couper des lignes intempestivement et mettre en péril l'intégrité du réseau.

Ce projet aura donc pour but de définir des zones qui permettent

de réagir judicieusement face à une impédance mesurée à un relais. Les trois zones à établir seront appelées par la suite :

- **Zone 1** : on coupe immédiatement la ligne (car le défaut est dessus) ;
- **Zone 2** : on coupe après quelques millisecondes d'attente (si le défaut est sur la ligne 2, le relais de la ligne deux l'aura coupé pendant la période d'attente, sinon on le coupera) ;
- **Zone 3** : on ignore (la zone correspond au reste du plan (R, X)).

Cette méthode a pour objectifs de couper rapidement une ligne qui présente un défaut sans couper celles qui n'en présentent pas.

1.2 Solution actuelle

On pourrait donc penser qu'il suffirait de simuler un grand nombre de défauts sur la première et la deuxième ligne à l'aide d'une méthode de Monte Carlo par exemple et définir ces zones comme l'enveloppe des points générés. Malheureusement, si ces zones sont les meilleures d'un point de vue théorique, elles ne peuvent être appliquées concrètement car elles présentent des pointes indésirables.

Actuellement donc, on sait travailler à partir de polygones que l'on cherche à optimiser de manière à obtenir une matrice de confusion proche de l'identité tout en cherchant à obtenir un polygone final convexe (en minimisant son volume notamment).

Voici des exemples de zones obtenues par cette méthode (où ω représente le poids que l'on accorde à la convexité) :

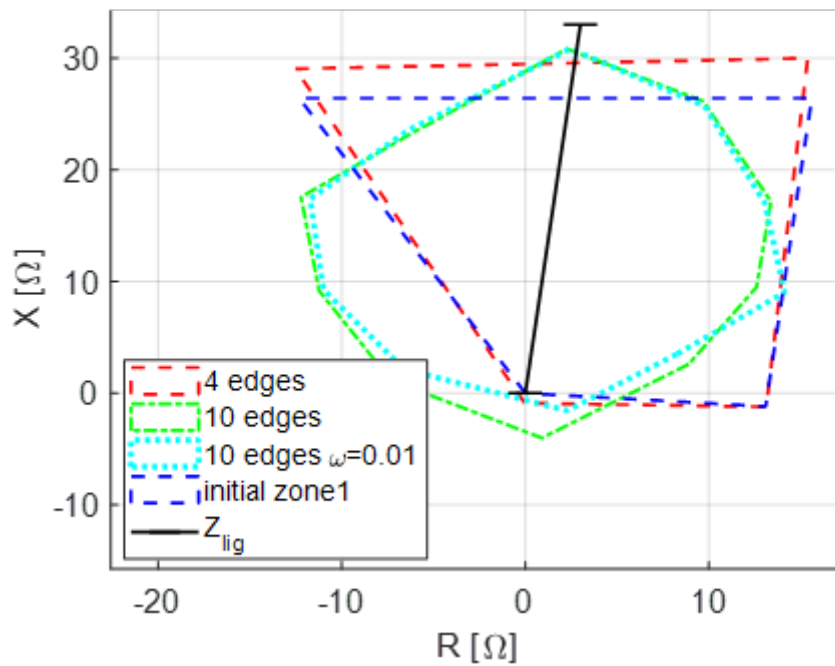


FIGURE 1 – Modélisation actuelle de la zone 1

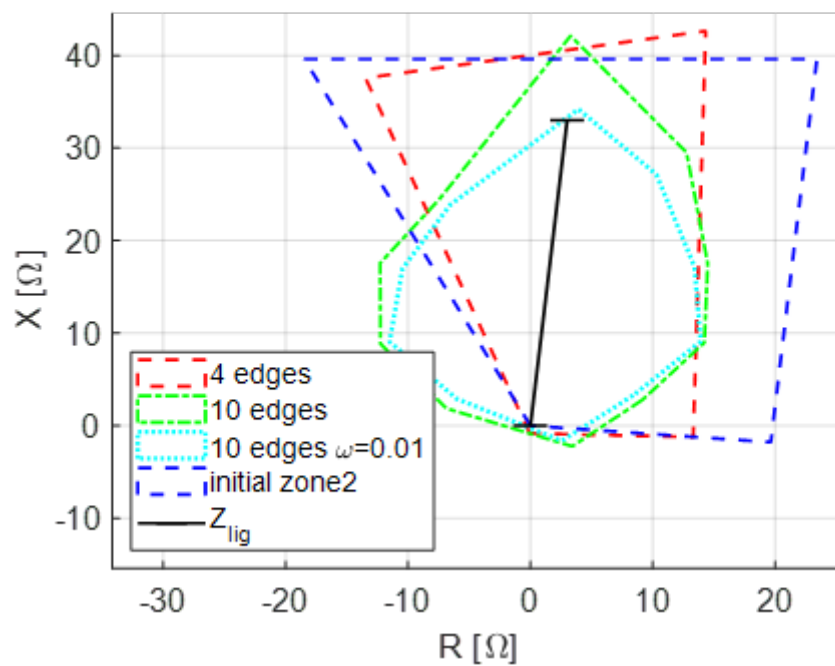


FIGURE 2 – Modélisation actuelle de la zone 2

2 Modélisation mathématique

2.1 Définition du problème d'optimisation

On se place dans le plan Réactance-Résistance. Dans la première partie de ce rapport, nous allons voir comment obtenir les densités de probabilités caractérisant les défauts pouvant se produire sur les lignes une et deux.

Dans la partie optimisation, nous chercherons les formes optimales des zones de coupe instantanée (zone 1) et de coupe retardée (zone 2).

Pour ce faire, nous définissons les fonctions qui vont guider notre optimisation.

2.2 Mise en équation du problème

Notons f_1 la densité de probabilité des défauts sur la ligne 1 et f_2 celle sur la ligne 2.

Il s'agit d'un problème de détection, nous définissons donc les quatre coefficients de la matrice de confusion.

Vrai Positif :

$$VP = \int_{Z_1} f_1 dA$$

Que nous cherchons à maximiser.

Faux Négatif :

$$FN = \int_{Z_2} f_1 dA$$

Que nous cherchons à minimiser.

Faux Positif :

$$FP = \int_{Z_1} f_2 dA$$

Que nous cherchons à minimiser.

Vrai Négatif :

$$VN = \int_{Z_2} f_2 dA$$

Que nous cherchons à maximiser.

Contraintes :

De plus, nous aimerions imposer certaines contraintes à notre problème. En effet, il faudrait que les zones obtenues se rapprochent de formes convexes. Ainsi, une idée pourrait être de vouloir minimiser le périmètre ou encore de minimiser le rapport périmètre sur le volume.

Forme du problème

Dans toute la partie optimisation, nous nous concentrerons sur l'optimisation de la frontière entre les deux zones. Nous fixerons donc les deux points aux extrémités de chaque zone.

La directive principale pour l'optimisation est que le taux de faux positif soit très proche de zéro. En effet, on veut absolument ne pas couper la ligne deux avant que le relais de ladite ligne ait eu le temps d'intervenir, on perdrait la garantie sûreté N-1.

3 Étude des densités de probabilité

3.1 Modèle électrique

Commençons par modéliser l'apparition d'un défaut sur les lignes du réseau de manière probabiliste.

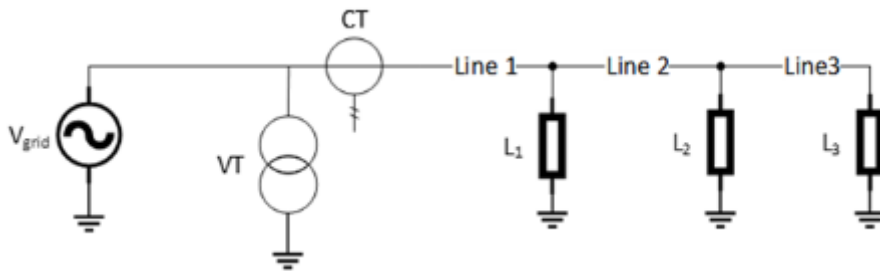


FIGURE 3 – Modélisation des lignes réseaux

Les lignes du réseau électriques sont modélisées par le circuit ci-dessus auquel on va ajouter une impédance de défaut placée aléatoirement. Pour chaque ligne, on place le défaut selon une distribution uniforme et on définit également une incertitude sur les impédances distribuées selon une loi normale. Ensuite, grâce à une mesure de la tension et du courant qui traverse le circuit on peut remonter à l'impédance totale de ce dernier. Enfin, on effectue cette expérience un grand nombre de fois pour chaque ligne afin d'avoir une base de données de résultats pour ensuite travailler sur l'optimisation car il est difficile d'avoir un nombre représentatif de données réelles.

3.2 Étude théorique du circuit

Le schéma électrique représentant le réseau est composé à l'entrée d'un modèle de Thévenin avec un générateur de tension E , une résistance R_{cc} et une réactance X_{cc} , de trois lignes de tension en parallèle d'impédance Z_{ligne} et dont les notations $R_{1,2,3}$, $X_{1,2,3}$ et $C_{1,2,3}$ sont associées à la ligne correspondante, ainsi que d'une charge en sortie du circuit de résistance R_L et de réactance X_L . Le défaut quant à lui est défini par la ligne sur laquelle il se trouve (choisie à l'avance), par sa

résistance R_{def} et sa position sur la ligne notée $posdef \in [0; 1]$ selon la proportion de ligne avant défaut ($posdef$ %) ou après défaut ($1 - posdef$ %).

Maintenant, on calcule l'impédance équivalente du circuit en partant de la charge et en remontant chaque ligne jusqu'à la source, sachant que les impédances des lignes vont être affectées par des incertitudes distribuées selon une loi normale définie au préalable et le défaut va fractionner la ligne en 2 parties selon sa position ce qui fera varier l'impédance équivalente.

Le programme Matlab disponible en annexe (7.1.1) procède ainsi au calcul de Z_{tot} , l'impédance équivalente, en suivant la structure récursive expliquée précédemment en simplifiant les mises en parallèles et en série successives et en remontant les lignes une par une. On s'épargnera l'expression analytique complète de la solution, trop complexe pour être pertinente.

3.3 Construction des densités de probabilité

L'objectif est donc de construire des densités de probabilité 3D. Elles correspondent à la probabilité d'avoir une valeur R de résistance et X de réactance lorsqu'un défaut survient sur une des 2 lignes électriques étudiées. Elles serviront à faire fonctionner les algorithmes d'optimisation (stochastiques, déterministes).

3.3.1 Simulation de Monte Carlo

Pour construire les densités de probabilité nous avons réalisé une simulation de Monte Carlo qui calcule l'impédance apparente lorsqu'un défaut survient. Plus précisément, pour une ligne et un défaut choisi, le programme simule N_{MC} fois Z_{app} . Pour cela nous utilisons la fonction "calcul tension courant relai ddp" qui permet de calculer la tension et l'intensité aux bornes du relai et donc d'obtenir Z_{app} .

Voici l'algorithme utilisé en pseudo-code :

Algorithm 1 Algorithme de Monte Carlo avec incertitudes

```

1: for i = 1 to N_MC do
2:   (Vmes, Imes) ← calcul_tension_courant_relai_ddp(E, Xcc, Rcc, Zlig, Clig,
     RL, XL, pdf_R, pdf_X, pdf_C, lignedef, posdef, omega, Rdef)
3:   Vmes ← |Vmes| × random(pdf_V) × exp(j × (angle(Vmes) + ran-
     dom(pdf_phiV)))
4:   Imes ← |Imes| × random(pdf_I) × exp(j × (angle(Imes) + ran-
     dom(pdf_phiI)))
5:   Zapp(i) ← Vmes / Imes
6: end for

```

Cet algorithme fonctionne pour une ligne et une position de défaut fixée. Nous devons le répéter pour plusieurs lignes et plusieurs positions de défaut. Nous avons pour cela construit une variable *plan_exp* qui définit l'ordre dans lequel l'algorithme est appliqué à chaque ligne et chaque position de défaut. Nous ne considérons ici que les deux premières lignes et nous choisissons aléatoirement N_{pos} positions de défaut sur chaque ligne. Nous remarquons par ailleurs que l'utilisation des boucles "for" va de paire avec une complexité spatiale très importante rendant très longue l'exécution du programme. Nous avons donc choisi de vectoriser ce programme afin de gagner en vitesse d'exécution et de pouvoir simuler plus de valeurs bien que nous soyons conscient que cela augmente la complexité spatiale.

Le code Matlab est disponible en annexe.

3.3.2 Interpolation permettant de passer d'un histogramme à une densité de probabilité

Nous avons donc obtenu des histogrammes 3D à partir de Z1 et Z2 dont l'abscisse et l'ordonnée sont la résistance R et la réactance X obtenues à partir de Z_{app} . Nous devons maintenant convertir ces histogrammes en densités de probabilité exploitable pour les algorithmes d'optimisation. Pour cela nous avons utilisé une méthode d'interpolation de l'histogramme sur un quadrillage plus fin afin d'avoir des densités "continues" que nous avons finalement normalisées en divisant la

hauteur de chaque pic par le volume total de l'enveloppe de la densité de sorte que celui-ci soit égal à 1.

Malheureusement, cette méthode n'est pas satisfaisante du fait de la présence de quelques artefacts dans les histogrammes qui ne suivent pas la tendance général de celui-ci. Ces artefacts proviennent du nombre insuffisant d'expérience réalisé. Nous pouvons difficilement corriger ce problème en augmentant ce nombre sans avoir plus de puissance de calcul. Pour palier à ce problème, nous avons plutôt choisi d'utiliser une méthode de lissage qui fonctionne sur le principe des masques de convolution en traitement d'image. Cela permet de supprimer ces artefacts et de fournir des densités plus exploitables pour l'optimisation. Nous sommes néanmoins conscient que la convolution entraîne une légère modification des lignes de niveau des densités de probabilité.

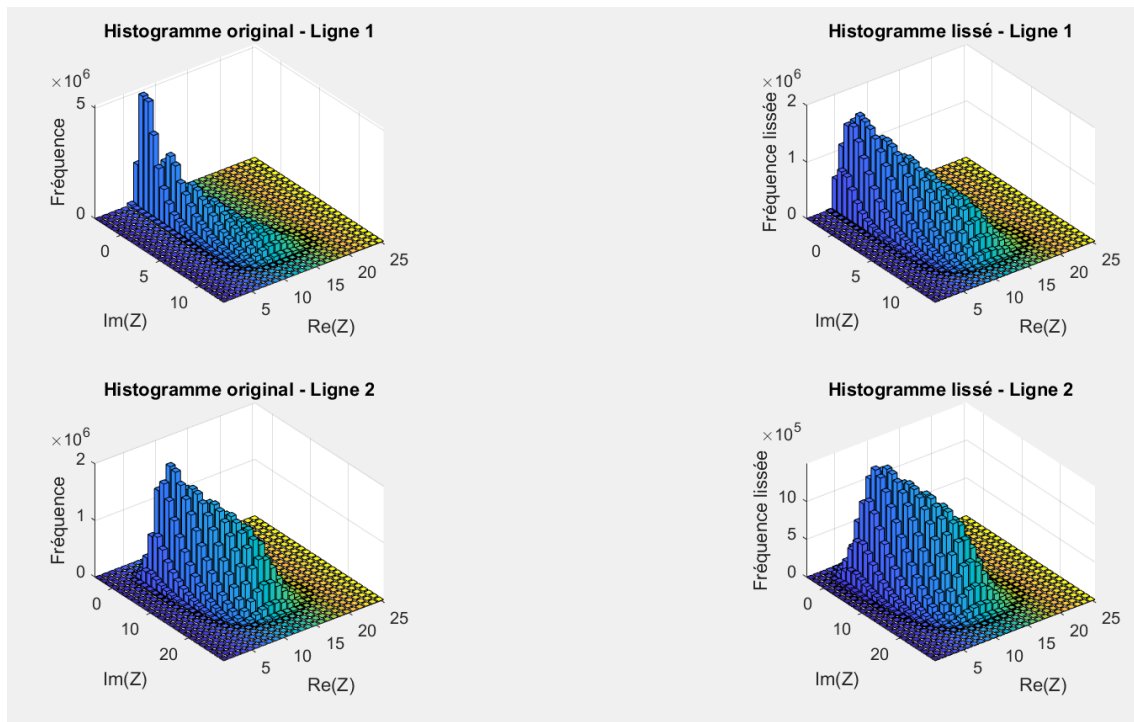


FIGURE 4 – Masque de convolution appliqué aux histogrammes

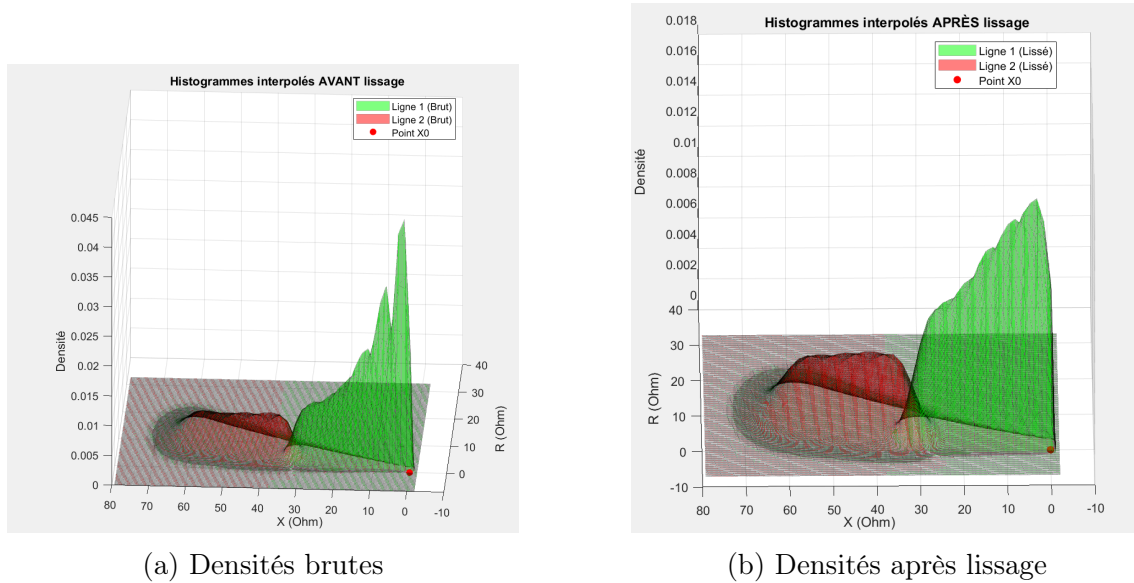


FIGURE 5 – Comparaison "avant/apr s" la m thode de lissage

Ces densit s ont  t  obtenues en simulant 10000 d fauts sur chacune des 2 lignes soit 20000 positions de d fauts diff rentes. Pour chaque d faut 10000 valeurs de Z_{app} sont simul es.

4 Optimisation du code et temps de calcul

Pour la suite nous noterons (N_Mc, N_pos) respectivement le nombre de simulation de Monte Carlo et le nombre de points de d fauts sur les lignes. Par exemple une simulation (10,30) signifie que le nombre de simulation de Monte Carlo est de 10 et le nombre de points de d fauts 30. On s'int ressera aussi au nombre de points total : $(N_Mc, N_pos) \rightarrow N_mc * N_pos$. Enfin k, M, G repr sentent les unit s math matiques usuelles

Avec une impl mentation naive (boucle for) notre algorithme avait, pour une simulation (100,200) un temps de calcul de 170 secondes. Pour r f rence l'ordinateur utilis  avait un Dual-core.

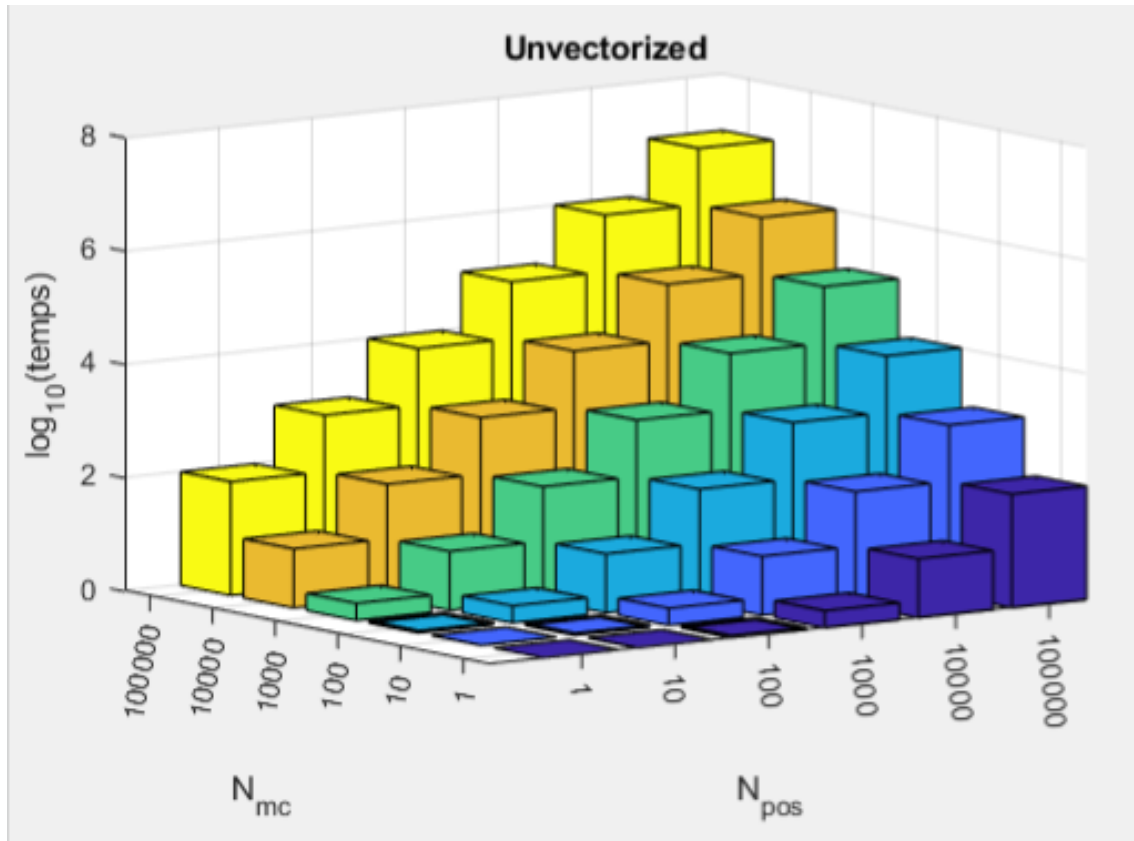


FIGURE 6 – Temps de calcul d'une simulation (x,y)

Sur le même ordinateur, la vectorisation du code a permis de passer d'un temps de calcul de l'ordre de 170 secondes à 0,3 secondes. Nous permettant notamment de passer à des simulations (10k, 20k) pour un temps de 40 secondes seulement.

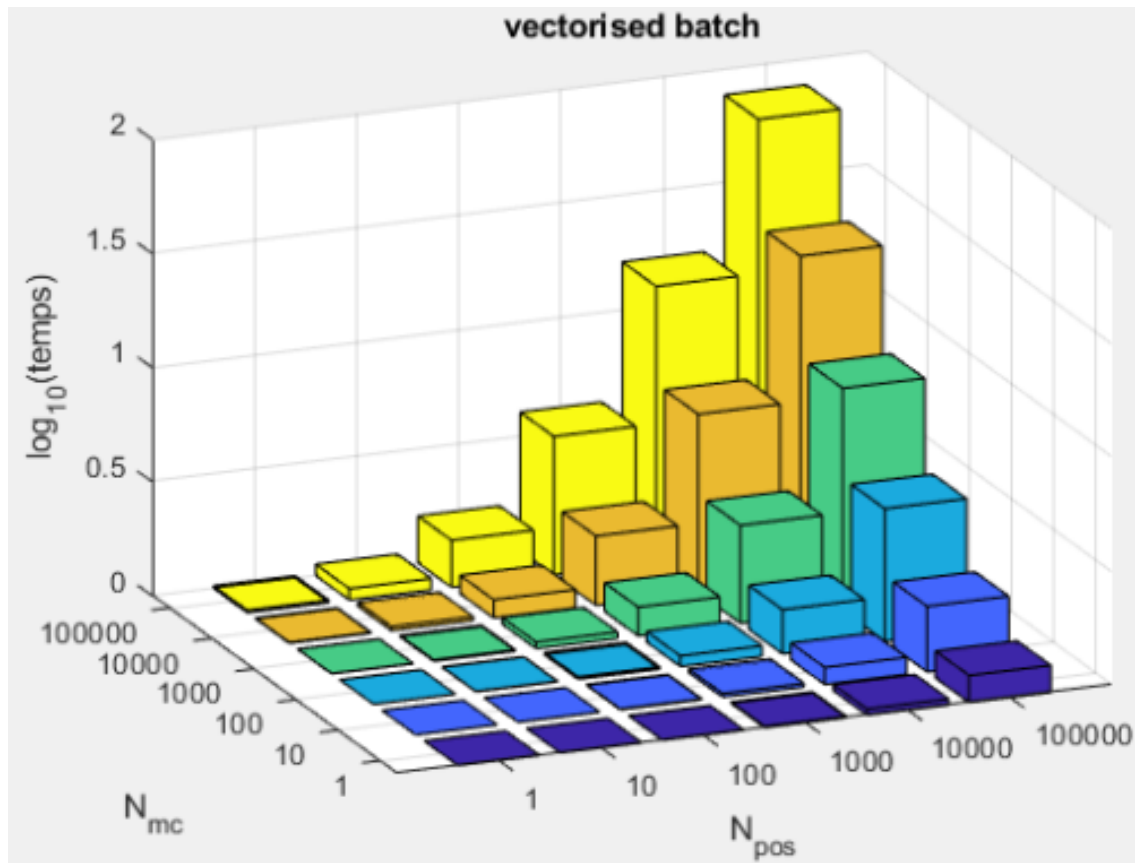


FIGURE 7 – Temps de calcul d’une simulation (x,y) vectorisé

Note : Les figures précédentes ne relèvent pas de simulations réelles mais d’extrapolation du temps de calcul nécessaire pour des valeurs élevées de N_{pos} et N_{mc} en supposant que l’évolution pour de grande valeur soit sensiblement la même.

4.1 le coût de cette vectorisation

Cette vectorisation ne vient pas sans un prix, celui de l’espace de calcul. De fait, un ordinateur possède une mémoire vive attribuée aux tâches telle le calcul vectorisé de nos simulations. On a observé empiriquement une surcharge lorsque le produit $N_{mc} * N_{pos}$ dépassait les 200 millions de points. Ainsi est née l’idée d’une optimisation personnalisée du code.

Le principe est simple, on crée des vecteurs de tailles quantifiées N_{vec} que l’on appellera N_{mc} surcharge pas la RAM de l’ordinateur (valeur trouver empiriquement). L’algorithme

Il est intéressant de noter qu'un tel algorithme perdrait plus efficacement le temps de calcul que N_{pos} passe la capacité de l'ordinateur, et que les valeurs saignées de la différence d'ordre N_{pos} sont les plus importantes. Cela conclut notre travail sur la production des densités de probabilité nécessaires à l'optimisation.

5 Implémentation d'un algorithme déterministe

Dans cette partie, nous allons implémenter une méthode de résolution déterministe par descente de gradient pour résoudre le problème d'optimisation.

5.1 Définition du problème d'optimisation

Nous allons optimiser la position des points de la frontière des deux polygones pour minimiser la fonction objectif suivante.

Nous décidons de fixer les abscisses des points de la frontière.

Fonction Objectif

On va utiliser plusieurs paramètres de pondération pour modérer l'optimisation par rapport à certaines fonction.

Même si nos composantes principales de la fonction objectif sont Vrais Positifs et Faux Positifs, nous trouvons qu'il est nécessaire de prendre en compte tous les coefficients de détections.

$$\omega = 0.95$$

Permet de prendre en compte la maximisation des Vrais Négatifs.

$$\omega_2 = 0.08$$

Permet de prendre en compte la minimisation du périmètre de la zone 1 : permet d'assurer que la forme de la solution est acceptable par le client.

$$\omega_3 = 0.85$$

Permet de prendre en compte la minimisation des Faux Négatifs.

$$\beta = 140$$

Permet d'imposer plus ou moins de contrainte sur les Faux (positifs et négatifs).

$$\epsilon = 0.01$$

Tolérance sur les fractions de Faux (positifs et négatifs).

$$f = \omega_2 P + (1 - \omega_2) [-\omega VP - (1 - \omega) VN + \beta / 2 * (\omega_3 (FP - \epsilon)^2 + (1 - \omega_3) (FN - \epsilon)^2)]$$

Contraintes

Un des objectifs de notre projet, était notamment de transformer certaines composantes de la fonction objectif en des contraintes : par exemple $FP < \epsilon$ pour assurer une certaine fraction de Faux Positifs ou encore $P < P_{convexe}$ pour obliger la zone à être convexe et donc forcer l'optimisation à nous donner une zone de forme acceptable pour le client sans minimiser directement le périmètre dans la fonction objectif.

Or, l'implémentation de contraintes a toujours résulté en des solutions non-conformes à nos attentes : que ce soit en terme d'exigence de détection du défaut ou de forme de la solution. Nous n'utilisons donc pas de contraintes d'égalité ni d'inégalité dans l'algorithme.

5.2 Résultats

L'algorithme tourne en 16 minutes grâce à la parallélisation implémentée.

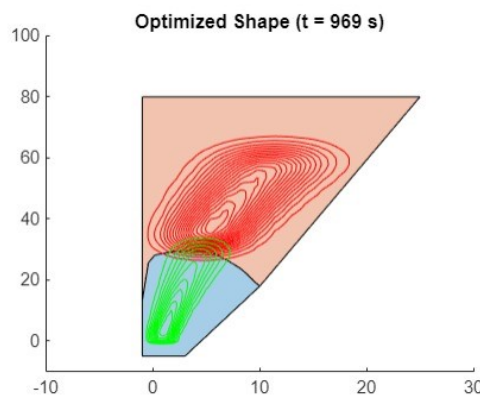


FIGURE 8 – Solution minimale obtenue avec $\beta = 140$ avec 150 départs.
VP = 0.91469 FP = 0.0102

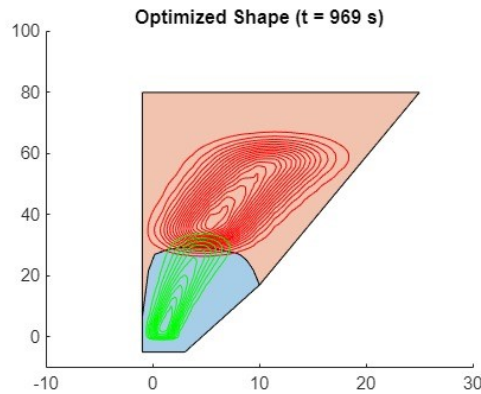


FIGURE 9 – Autre solution obtenue avec $\beta = 140$ avec 150 départs.
VP = 0.9097 FP = 0.0092

Ces solutions proviennent de deux optimisations avec des points initiaux différents. On peut voir que la première est meilleure par rapport à VP et que la seconde est meilleure par rapport à FP.

5.3 Dépendance aux paramètres d'optimisation

Dépendance à l'état initial

Dans l'algorithme, nous initialisons la forme en créant un bruit sur les ordonnées autour de $Y0 = 30$. Ce bruit est aléatoire et permet de pouvoir commencer l'optimisation en partant de points initiaux différents pour ne pas tomber dans le même minimum local.

Nous avons remarquer que optimiser sur 150 points initiaux était suffisant pour obtenir une solution satisfaisante.

Voici la répartition globale des solutions obtenues triée par ordre croissant de fonction objectif.

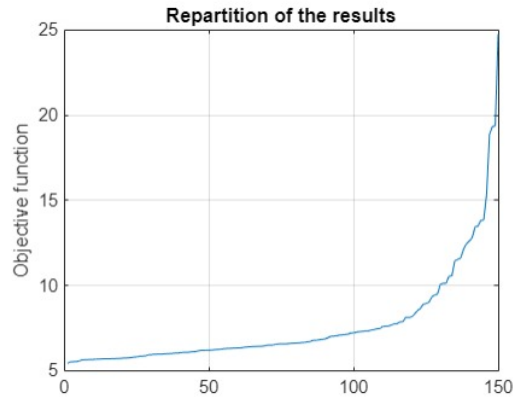


FIGURE 10 – Valeurs des objectifs pour chaque solutions issues d'une optimisation à partir d'un point initial différent.

Pour vérifier la pertinence des paramètres choisis, nous avons effectuer plusieurs expériences.

Intérêt de prendre en compte VN et FN

Dans ce test, on fixe $\omega = 1$ et $\omega_3 = 1$ pour ne prendre en compte que les Vrais Positifs et Faux Positifs.

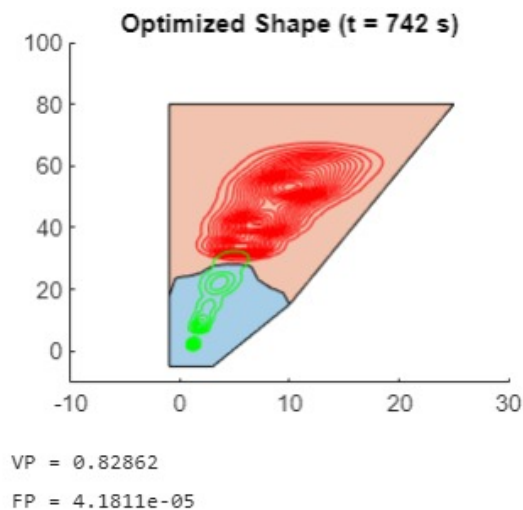


FIGURE 11 – Solution trouvée sans prendre en compte VN ni FN.

On voit que la fraction VP est plus faible. FP aussi est plus faible mais nous n'avons pas besoin d'une fraction de Faux Positifs aussi faible.

Cela nous montre que la prise en compte de FN et VN est nécessaire malgré que nos objectifs principaux soient autour de FP et VP.

Impact de la variation de la contrainte β

β est le paramètre le plus intéressant à modifier. Il permet de choisir la priorité entre la optimisation par rapport à VP ou FP.

Diminuer la contrainte β a pour effet de prioriser l'augmentation de VP à la minimisation de FP. Au contraire, augmenter β permet d'être plus sélectif et d'exclure plus de points de défauts de la ligne 2 de la zone de coupure instantanée.

Impact de l'augmentation de la contrainte sur le périmètre

Renforcer la contrainte sur le périmètre va avoir pour effet de réduire la taille du polygone final obtenu. Or, cette contrainte est là initialement pour garantir la bonne forme de la solution obtenue.

Conclusion

Cette méthode d'optimisation offre une grande liberté au client. On peut choisir aisément les paramètres en fonction des attentes de sélectivité. L'optimisation est fiable.

5.4 Perspectives d'améliorations

Recherche de paramètres adaptés

Avec plus de temps, nous pourrions approfondir la recherche de jeu de paramètres pertinents pour le client.

Résolution par dérivée de forme

Notre algorithme utilise la résolution par différences finies. Nous avons essayé d'implémenter la dérivée de forme en utilisant les gradients des densités de probabilités. Cependant, l'optimisation se termine trop tôt et le résultat est insatisfaisant.

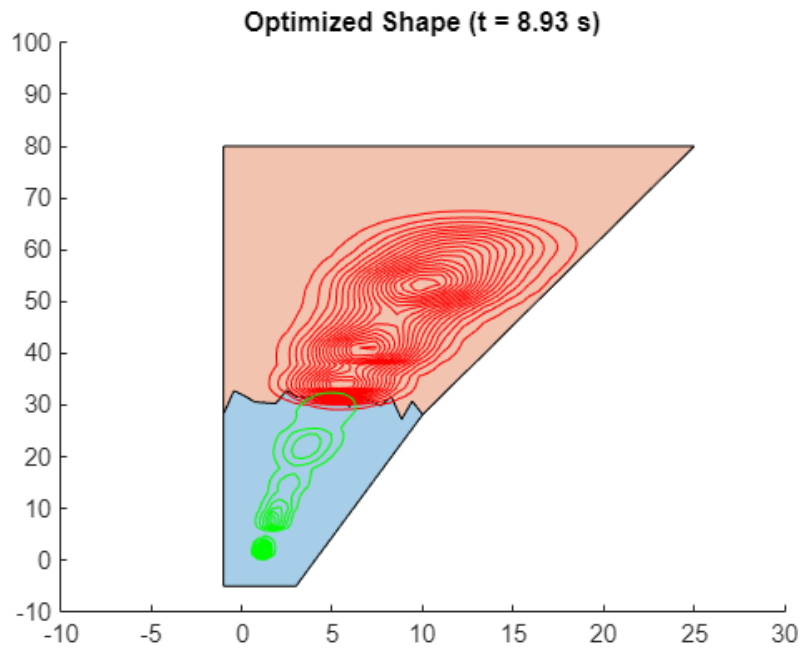


FIGURE 12 – Tentative d'implémentation de l'optimisation par dérivée de forme

L'optimisation par dérivée de forme permettrait de réduire le temps d'optimisation par un facteur 10 !

6 Implémentation d'un algorithme probabiliste

6.1 Définition du problème d'optimisation

L'objectif de cette partie est d'optimiser la configuration des polygones afin de maximiser le taux de vrais positifs tout en minimisant le taux de faux positifs. Pour ce faire, nous avons comme objectif de tracer un front de Pareto interactif qui permet de visualiser les polygones optimisés.

Les définitions des critères d'optimisation sont les suivantes :

$$\text{Taux de vrais positifs (TVP)} = \frac{VP}{VP + FN} \quad (1)$$

$$\text{Taux de faux positifs (TFP)} = \frac{FP}{FP + VN} \quad (2)$$

Pour atteindre cet objectif, nous utilisons un algorithme génétique de type NSGA-II, implémenté à l'aide de la fonction `gamultiobj` de Matlab. Inspirée de la sélection naturelle, cette méthode repose sur un processus itératif comprenant les étapes suivantes :

- **Initialisation** : une population aléatoire de solutions est générée avec des bornes inférieures et supérieures que nous pouvons choisir.
- **Sélection** : les meilleures solutions sont conservées.
- **Croisement** : de nouvelles solutions sont formées par recombinaison des meilleures solutions.
- **Mutation** : des modifications aléatoires peuvent avoir lieu

Un front de Pareto représente l'ensemble des solutions optimales lorsqu'on cherche à optimiser plusieurs critères en même temps. Un point appartient au front de Pareto s'il n'existe pas un autre point qui soit meilleur sur un critère sans être moins bon sur un autre critère.

6.2 R alisation de premiers algorithmes sur des fonctions de densit  test

6.2.1 Un seul polygone

Dans un premier temps, nous optimisons l'emplacement d'un unique polygone dans la zone 1. Les objectifs consid r s sont :

- Maximiser le nombre de vrais positifs (VP),
- Minimiser le nombre de faux positifs (FP).

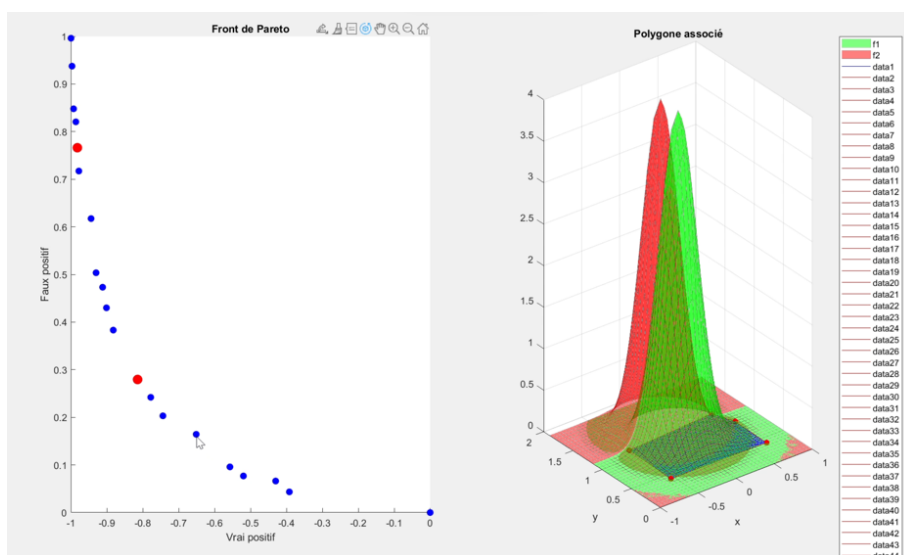


FIGURE 13 – Exemple d'optimisation d'un polygone avec son front de Pareto.

Le front de Pareto obtenu (figure de gauche) permet de s lectionner un polygone optimal dont la forme  volue pour r duire les faux positifs.

6.2.2 Mise en place d'un deuxi me polygone

Afin d'atteindre les objectifs du projet, nous introduisons un second polygone pour optimiser la densit  de la zone 2 tout en minimisant celle de la zone 1. L'optimisation repose sur le vecteur :

$$X = (x_{11}, y_{11}, x_{12}, y_{12}, \dots, x_{1nb}, y_{1nb}, x_{21}, y_{21}, x_{22}, y_{22}, \dots, x_{2nb}, y_{2nb})$$

Ce vecteur regroupe les nb coordonn es des sommets du premier polygone, suivies des nb coordonn es des sommets du second polygone. Notre fonction objectif prend donc en compte trois objectifs : maximiser VP,

minimiser FP et maximiser VN. L'utilisation de trois objectifs conduit à l'apparition d'un front de Pareto en 3 dimensions. Cependant, les résultats obtenus ne sont pas satisfaisants, les polygones se superposent et n'ont pas la forme désirée.

6.3 Reformulation du problème et passage aux vraies densités

Pour éviter les superpositions, nous avons repensé l'approche :

- Seuls les sommets situés sur la frontière entre les deux polygones sont libres : en bleu sur la figure
- Certains sommets du polygone 1 et du polygone 2 sont fixés comme les points extrêmes de la frontière en noir.
- Le vecteur d'optimisation devient :

$$X = (y_1, y_2, \dots, y_{nb}) \quad (3)$$

Ici, les y représentent les coordonnées verticales des points de la frontière, espacés régulièrement selon leur abscisse.

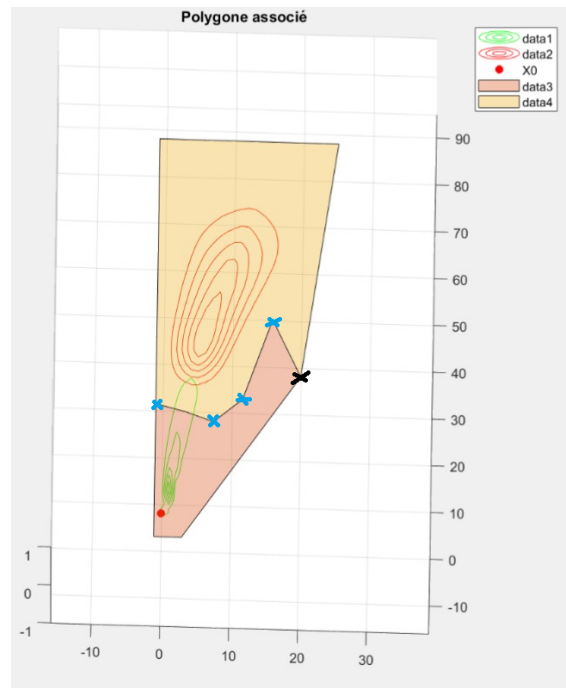


FIGURE 14 – Optimisation de la frontière

6.4 Optimisation avec l'Algorithme NSGA-II

L'algorithme NSGA-II est appliqué à l'optimisation de la frontière avec pour objectifs :

- Maximiser le taux de vrais positifs (TVP),
- Minimiser le taux de faux positifs (TFP).

Un nombre trop important de points sur la frontière rend les résultats bruités contrairement aux résultats avec l'algorithme déterministe, il est donc préférable de réduire ce nombre. En effet, nous voudrions que le zone soit convexe donc minimiser les sauts et bruits inutiles.

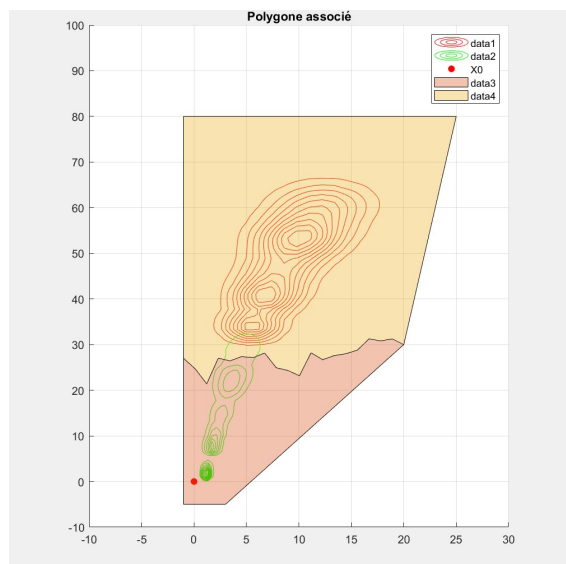


FIGURE 15 – Exemple de frontière bruitée avec 20 points d'optimisation.

Dans le cas de l'algorithme génétique il faut ainsi privilégier moins de points sur la frontière. Ici nous choisissons 6 points, une population de 300 avec 100 générations. Nous fixons les deux côtés de la frontière et la fonction d'optimisation est avec $J = [-TVP; TFP]$ pour minimiser les deux objectifs. En se déplaçant sur le Pareto nous pouvons choisir les polygones que nous préférons. Nous retenons ceux de la figure ci dessous, car ils permettent d'avoir des vrais positifs de 0.87 et 0,0038 de faux positifs. Ainsi cela permet d'éviter de couper inutilement la ligne 1, en ne touchant presque pas la courbe rouge.

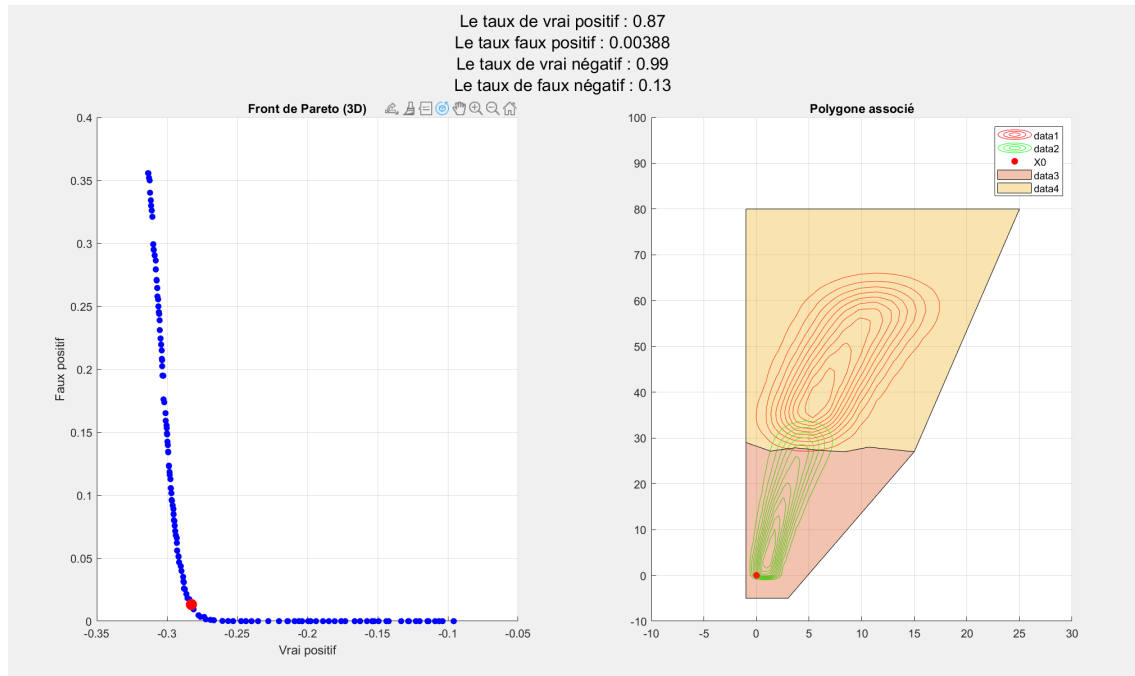


FIGURE 16 – Exemple de fronti re pour minimiser les FP

Afin de maximiser le nombre de vrais positifs, nous pourrions envisager d' largir la zone du polygone 1 afin d'englober l'ensemble de la courbe verte. Cette approche se traduirait n anmoins par une augmentation du taux de faux positifs. Ce r sultat a  t  obtenu en consid rant une population de 400 points sur 70 g n rations.

Dans ce cadre, nous avons fix  les deux c t s de la fronti re et utilis  une fonction d'optimisation d finie par $J = [-TVP; TFP]$, permettant de minimiser simultan ment les deux objectifs. En explorant la fronti re de Pareto, nous avons retenu les polygones pr sent s dans la figure ci-dessous, car ils permettent d'atteindre un nombre de vrais positifs de 0.98 et un nombre de faux positifs de 0.053 . Cette configuration permet ainsi de couvrir presque enti rement la courbe verte.

Les coordonn es du polygone 1 sont en annexe.

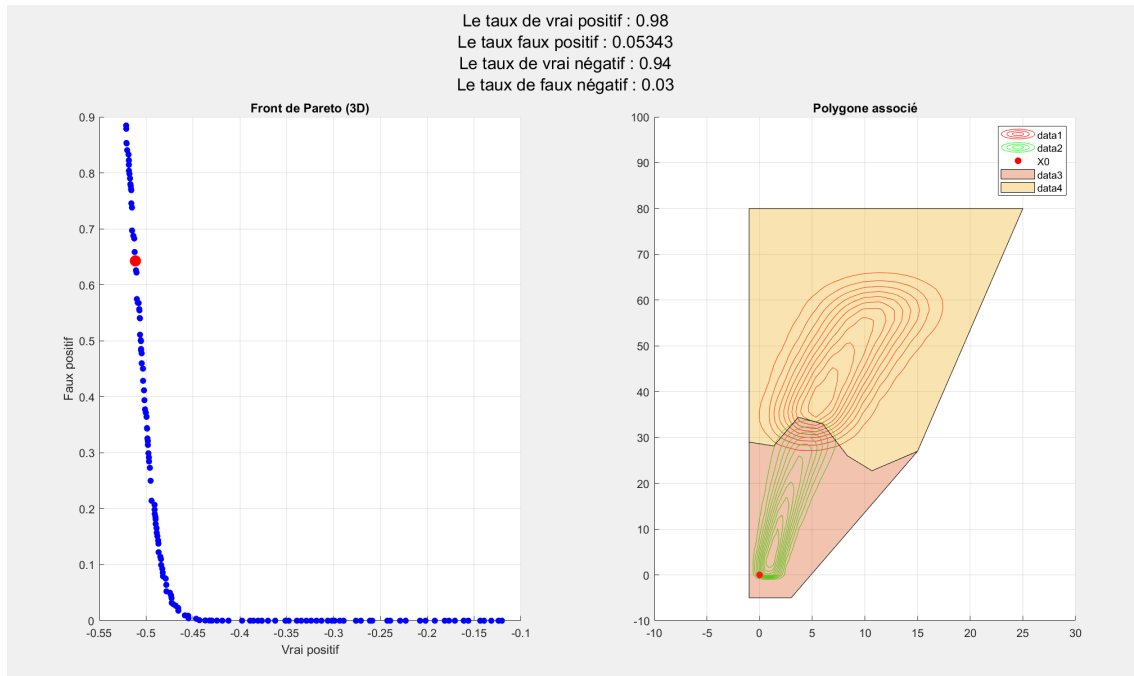


FIGURE 17 – Exemple de fronti re pour maximiser les VP en minimisant les FP

6.4.1 Courbe ROC

Une courbe ROC illustre l' volution du taux de faux positifs en fonction du taux de vrais positifs. En exploitant les points issus de la fronti re de Pareto, il est possible de tracer diff rentes courbes ROC. Dans celle de la figure suivante, nous choisissons 6 points, une population de 300 avec 100 g n rations. Nous fixons les deux c t s de la fronti re et la fonction d'optimisation est avec $J = [-0.6 * TVP; 0.4 * TFP]$ avec une pond ration sur les objectifs permettant de favoriser un peu plus la maximisation des vrais positifs. On obtient une aire sous la courbe de 0.7642 ce qui se rapproche de 1 qui serait la solution id ale. En effet, une courbe ROC avec une aire sous la courbe proche de 1 signifie que l'algorithme est efficace pour distinguer les vrais positifs des n gatifs. Ici $0.7664 > 0.5$ ce qui signifie que l'algorithme est meilleur qu'un tirage al atoire.

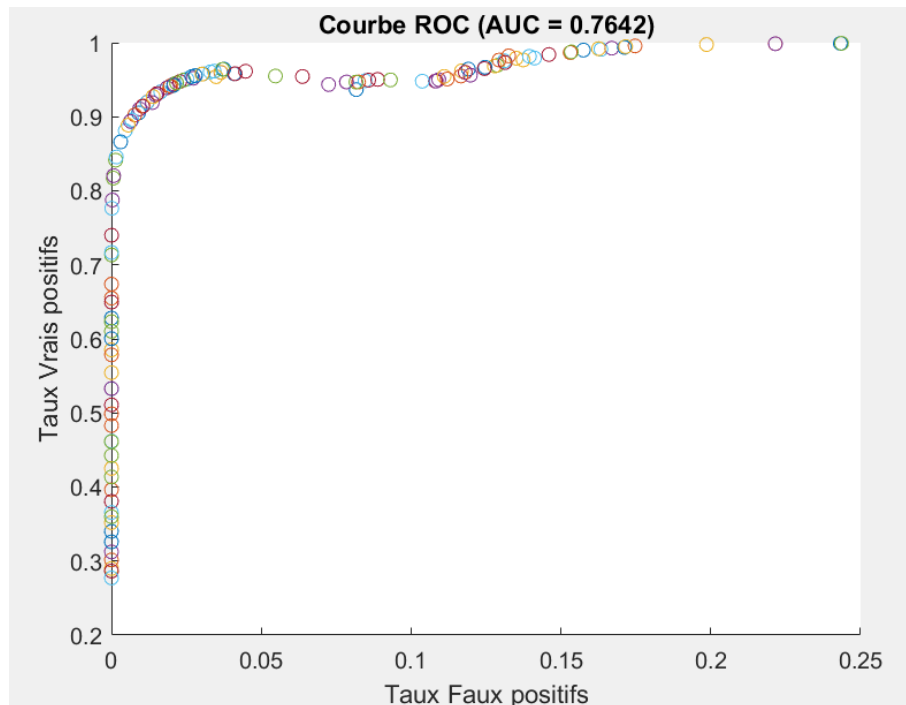


FIGURE 18 – Exemple de courbe ROC obtenue avec aire sous la courbe = 0.7642

6.4.2 Comparaison entre la méthode génétique et la méthode déterministe

Afin de mieux comparer les deux méthodes, nous pouvons concevoir un algorithme génétique intégrant la fonction d'optimisation de l'algorithme déterministe. Cependant, cette approche ne permet pas de générer un front de Pareto, car l'optimisation repose sur un unique objectif. A la différence avec l'algorithme déterministe le point d'extrémité droite de la frontière (20,30) est fixé, ce qui permet de définir ensuite des bornes inférieures essentielles au bon fonctionnement de l'algorithme génétique. Mais nous gardons les mêmes ω et ϵ que ceux de la partie 4 ainsi que 20 points sur la frontière.

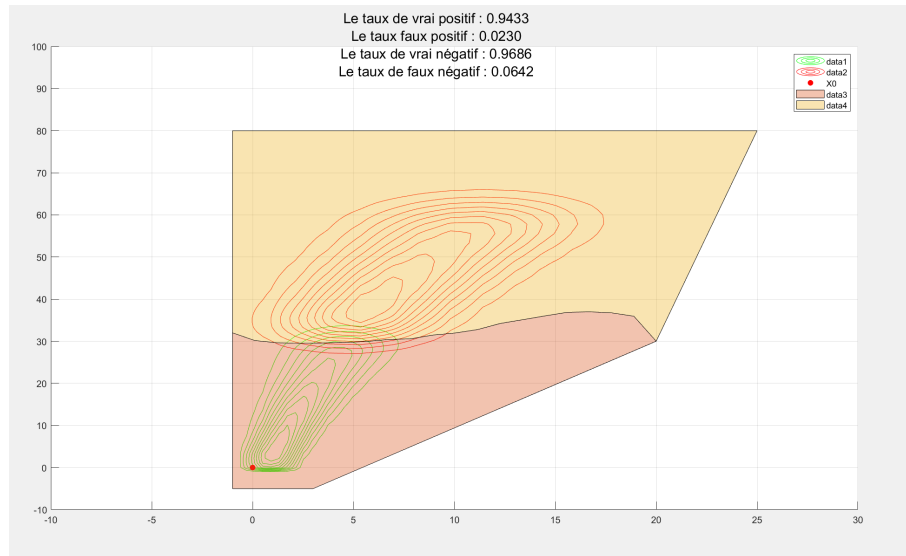


FIGURE 19 – Méthode NSGAIL, même fonction objectif que la méthode déterministe mais en fixant les 2 points sur la frontière

Cette figure a été obtenue en considérant une population de 300 individus sur 70 générations. Nous observons que le résultat obtenu, avec un taux de vrais positifs de 0.94 et un taux de faux positifs de 0.02, est moins satisfaisant si l'on souhaite minimiser le taux de faux positifs que celui issu de la même fonction objectif appliquée à la méthode déterministe qui possède un taux de vrais positifs de 0.90 et de faux positif de 0.009. De plus, le temps de calcul est beaucoup plus lent avec la méthode génétique.

Cette différence de performance pourrait s'expliquer par l'imposition de bornes supérieures et inférieures dans l'algorithme génétique, introduisant ainsi des contraintes plus restrictives. Une autre hypothèse est que le nombre relativement faible de générations choisies n'a peut-être pas permis à l'algorithme génétique d'atteindre une solution optimale.

6.4.3 Conclusion sur la méthode génétique et idées pour aller plus loin

Le choix de la population initiale ainsi que du nombre de générations a un impact significatif sur le front de Pareto obtenu, mais influe également sur le temps de calcul, qui augmente considérablement avec ces paramètres.

L'un des principaux avantages de la méthode génétique réside dans sa flexibilité : elle permet de sélectionner un polygone correspondant aux taux de vrais positifs (VP), vrais négatifs (VN), faux positifs (FP) et faux négatifs (FN) souhaités, en se déplaçant simplement sur le front de Pareto. Dans le cadre de notre étude et des tests réalisés, cette approche a permis d'obtenir de meilleurs résultats pour l'optimisation simultanée des taux de vrais positifs (TVP) et de faux positifs (TFP) que par la fonction objectif f de la méthode déterministe.

Dans le cadre de la méthode génétique, il est essentiel que les nouvelles générations respectent certaines contraintes structurelles afin d'assurer le bon fonctionnement de l'algorithme. Par exemple, il est impératif que les polygones générés ne présentent pas d'intersections entre leurs côtés. Pour garantir cette condition, nous avons fixé le sommet noir et défini des bornes inférieures en fonction de ce point sur la frontière.

Une piste d'amélioration consisterait à concevoir un algorithme capable de déplacer dynamiquement ce sommet afin d'optimiser la configuration du polygone. Un algorithme a été réalisé qui permet de déplacer le sommet fixé qui est fonctionnel (voir annexe), mais il faut encore rendre ce déplacement dynamique. Pour l'instant nous pouvons changer x_{sommet} et y_{sommet} qui correspondent aux coordonnées du point noir et mettre celles que nous voulons.

Les coordonnées du polygone 1 sont en annexe pour les deux figures.

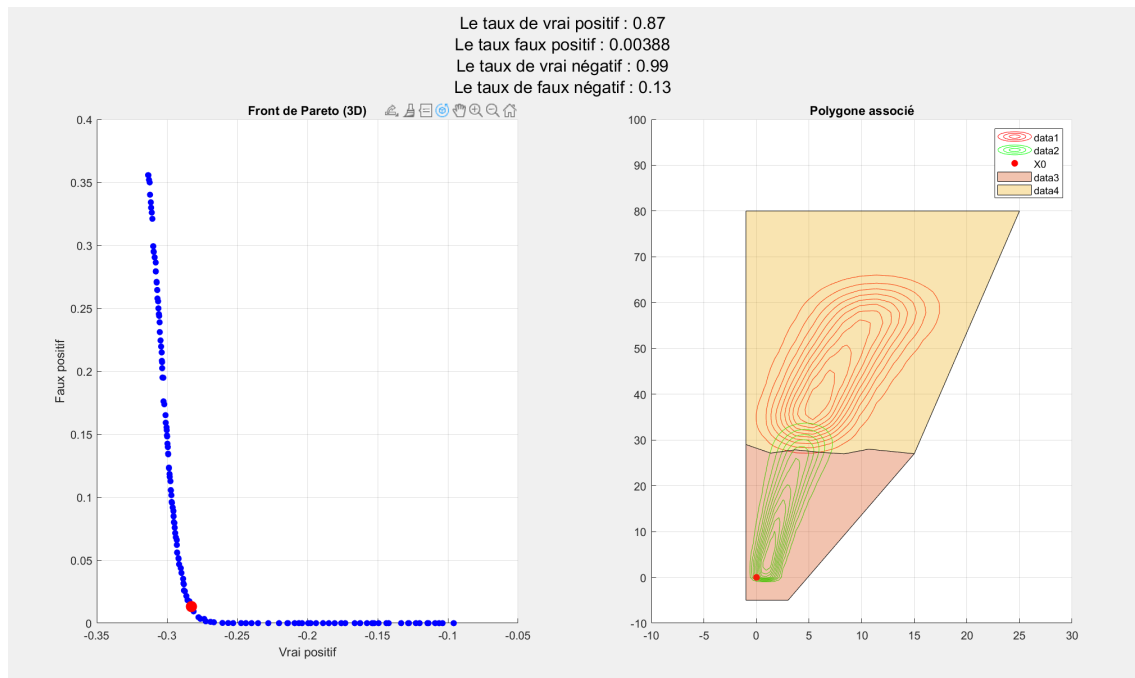


FIGURE 20 – Sommet fixe   (15,27)

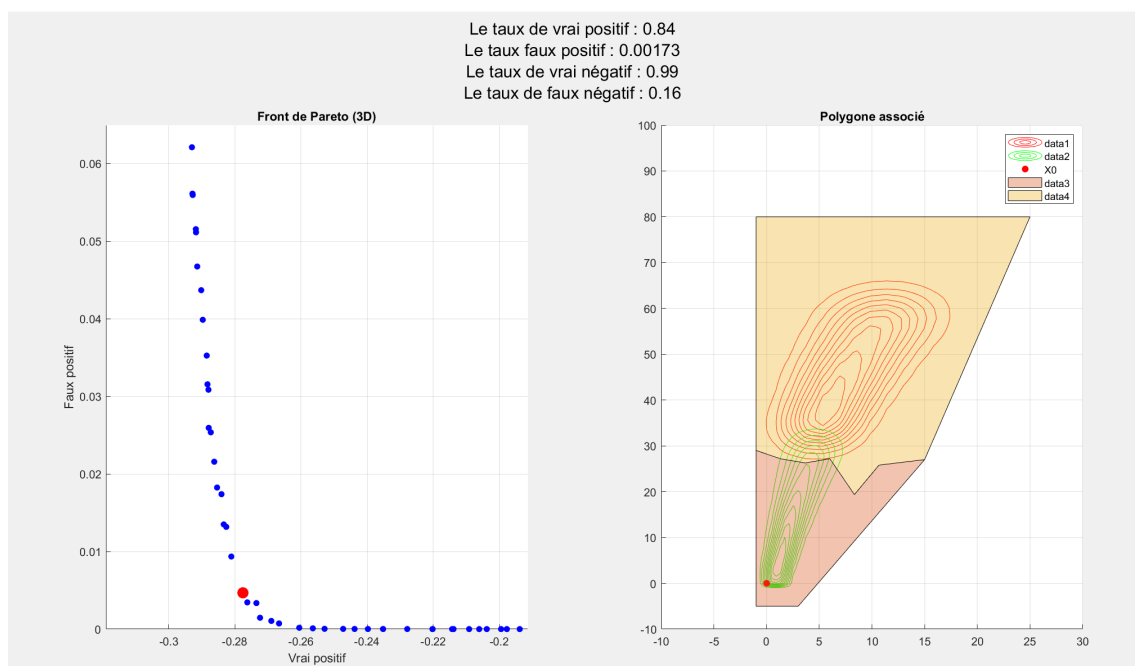


FIGURE 21 – Sommet fixe   (15,27)

7 Étude comparative des solutions

7.1 Comparaison des solutions des deux algorithmes

Les deux algorithmes ont des résultats similaires en matière de performances de détection de défauts et en matière de temps d'optimisation. La méthode déterministe tend à produire des polygones plus convexes, car elle intègre le périmètre dans sa fonction objectif, tandis que la méthode génétique offre une plus grande liberté dans le choix de la forme des polygones optimaux avec un Pareto. Ces algorithmes ont des paramètres que nous pouvons changer afin d'adapter leur fonctionnement aux exigences spécifiques du client et d'optimiser les compromis entre les différents critères de performance.

7.2 Comparaison avec la solution initiale

La solution actuellement adoptée dans les relais est la suivante :

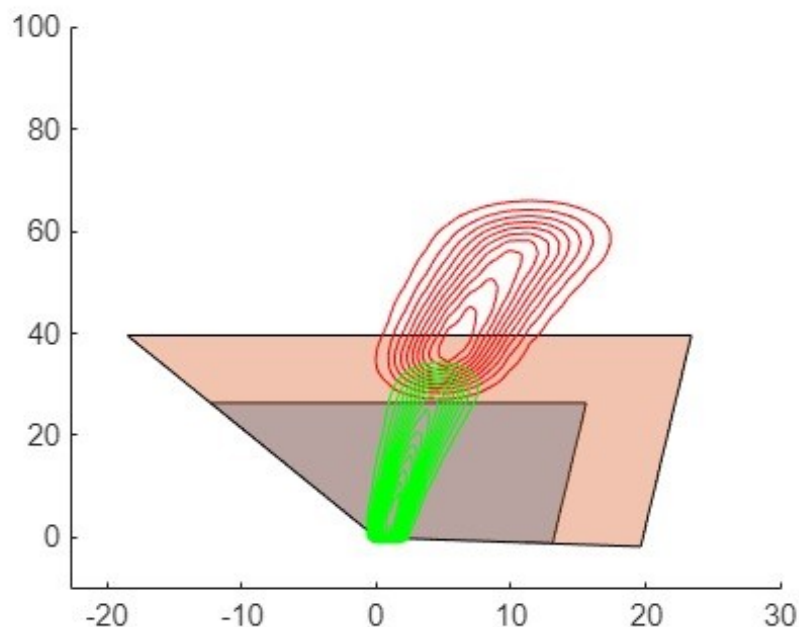


FIGURE 22 – Polygone de la littérature trouvé par calculs.
 $VP = 0.826$ $FP = 0.001$

Aux vues de ses bonnes performances, notamment en terme de mini-

misation de FP, on comprend pourquoi cette solution est actuellement la plus répandue. Cependant les solutions que nous trouvons ont pour avantage d'avoir un FP du même ordre de grandeur tout en ayant un VP plus grand d'environ 8 %.

En pratique, c'est souhaitable car on va plus souvent couper immédiatement lorsqu'un court circuit va avoir lieu sur la ligne 1. La sécurité du réseau est renforcée.

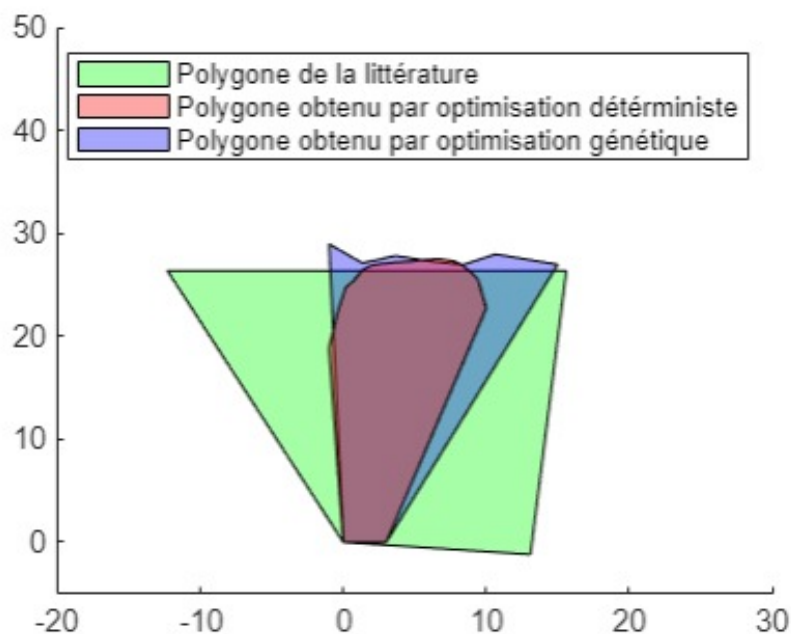


FIGURE 23 – Comparaison des trois zones de coupure instantanée obtenue.

7.3 Perspectives d'améliorations

On aurait voulu pouvoir combiner les méthodes d'optimisations en utilisant l'algorithme déterministe sur la population finale obtenue par l'algorithme génétique.

8 Annexes

8.1 Annexe 1 : Code Matlab - Densités de probabilité

8.1.1 Calcul de l'impédance équivalente du circuit selon la position du défaut

```

1
2 function [Vmes,Ilig]=calcul_tension_courant_relai_ddp(E,Xcc,
   Rcc,Zlig,C,RL,XL,pdf_R,pdf_X,pdf_C,lignedef,posdef,omega,
   Rdef)
3 % On calcule la tension et le courant mesures par le relai
4
5 %% 1) Calcul de Ztot
6 % Ztot est l'impedance reseau (generateur deconnecte, qui
   prend en compte
7 % le default)
8
9 switch linedef
10     case 1 % default sur la ligne 1
11         %% Calcul des grandeurs electriques aval du default
12         ZL=1/(1/RL+1/(1j*XL)); % charge 3 (P et Q, RL en
           parallele XL)
13         Ztot=ZL; % tout au bout
14         % ligne 2-3
15         C3=C*random(pdf_C); % incertitude sur le C des lignes
16         X3=imag(Zlig)*random(pdf_X); % incertitude sur le X
           des lignes
17         R3=real(Zlig)*random(pdf_R); % incertitude sur le R
           des lignes
18         % on remonte de 1 ligne
19         Ztot=1/(1/Ztot+1j*C3*omega/2);
20         Ztot=Ztot+(R3+1j*X3);
21         % au noeud 2
22         Ztot=1/(1/Ztot+1j*C3*omega/2+1/ZL);
23         % ligne 1 -2
24         C2=C*random(pdf_C);
25         X2=imag(Zlig)*random(pdf_X);
26         R2=real(Zlig)*random(pdf_R);
27         Ztot=1/(1/Ztot+1j*C2*omega/2);
28         Ztot=Ztot+(R2+1j*X2);
29         % charge noeud 1
30         Ztot=1/(1/Ztot+1/ZL+1j*C2*omega/2);
31
32         %% Calcul des grandeurs electriques default et amont

```

```

33      % ligne PCC-1 apres default
34      % on a posdef[%] de la ligne en amont du default
35
36      % default (position posedef fixe a l'exterieur de la
37      % fonction)
38      % impedance de default aleatoire
39
40      C1=C*random(pdf_C)*(1-posdef);
41      X1=imag(Zlig)*random(pdf_X)*(1-posdef);
42      R1=real(Zlig)*random(pdf_R)*(1-posdef);
43      Ztot=1/(1/Ztot+1j*C1*omega/2);
44      Ztot=Ztot+(R1+1j*X1);
45      % default resistif en parallele (Rdef fixe en dehors de
46      % la fonction)
47      Ztot=1/(1/Ztot+1/Rdef+1j*C1*omega/2);
48      % on remonte avant default
49      C1p=C1*(posdef)/(1-posdef);
50      X1p=X1*(posdef)/(1-posdef);
51      R1p=R1*(posdef)/(1-posdef);
52      Ztot=1/(1/Ztot+1j*C1p*omega/2);a
53      Ztot=Ztot+(R1p+1j*X1p);
54      % Point of Command Coupling (source de tension Vgrid)
55      Ztot=Ztot+Rcc+1j*Xcc;
56
57      case 2 % pareil que precedemment, sur la ligne 2
58      ZL=1/(1/RL+1/(1j*XL)); % 1 charge
59      Ztot=ZL; % tout au bout
60      % ligne 2-3
61      C3=C*random(pdf_C);
62      X3=imag(Zlig)*random(pdf_X);
63      R3=real(Zlig)*random(pdf_R);
64      % on remonte de 1 ligne
65      Ztot=1/(1/Ztot+1j*C3*omega/2);
66      Ztot=Ztot+(R3+1j*X3);
67      % au noeud 2
68      Ztot=1/(1/Ztot+1j*C3*omega/2+1/ZL);
69      % ligne 1 -2 ares default
70      % on a posdef[%] de la ligne en amont du default
71      C2=C*random(pdf_C)*(1-posdef);
72      X2=imag(Zlig)*random(pdf_X)*(1-posdef);
73      R2=real(Zlig)*random(pdf_R)*(1-posdef);
74      Ztot=1/(1/Ztot+1j*C2*omega/2);
75      Ztot=Ztot+(R2+1j*X2);
76      % le default en //

```

```

76      Ztot=1/(1/Ztot+1/Rdef+1j*C2*omega/2);
77      %ligne 1-2 avant default
78      C2p=C2*(posdef)/(1-posdef);
79      X2p=X2*(posdef)/(1-posdef);
80      R2p=R2*(posdef)/(1-posdef);
81      Ztot=1/(1/Ztot+1j*C2p*omega/2);
82      Ztot=Ztot+(R2p+1j*X2p);
83      % le noeud 1
84      Ztot=1/(1/Ztot+1/ZL+1j*C2p*omega/2);
85      % ligne PCC-1
86      C1=C*random(pdf_C);
87      X1=imag(Zlig)*random(pdf_X);
88      R1=real(Zlig)*random(pdf_R);
89      Ztot=1/(1/Ztot+1j*C1*omega/2);
90      Ztot=Ztot+(R1+1j*X1);
91      Ztot=1/(1/Ztot+1j*C1*omega/2);
92      % on remonte avant default
93      % PCC
94      Ztot=Ztot+Rcc+1j*Xcc;
95      case 3 % pareil que precedemment, sur la ligne 3
96          ZL=1/(1/RL+1/(1j*XL)); % 1 charge
97          Ztot=ZL; % tout au bout
98          % ligne 2-3 avant default
99          % on a posdef[%] de la ligne en amont du default
100         C3=C*random(pdf_C)*(1-posdef);
101         X3=imag(Zlig)*random(pdf_X)*(1-posdef);
102         R3=real(Zlig)*random(pdf_R)*(1-posdef);
103         % on remonte de 1 ligne
104         Ztot=1/(1/Ztot+1j*C3*omega/2);
105         Ztot=Ztot+(R3+1j*X3);
106         % au default en //
107         Ztot=1/(1/Ztot+1j*C3*omega/2+1/Rdef);
108         %ligne 2-3 avant default
109         C3p=C3*posdef/(1-posdef);
110         X3p=X3*posdef/(1-posdef);
111         R3p=R3*posdef/(1-posdef);
112         % on remonte de 1 ligne
113         Ztot=1/(1/Ztot+1j*C3p*omega/2);
114         Ztot=Ztot+(R3p+1j*X3p);
115         % au noeud 2
116         Ztot=1/(1/Ztot+1j*C3p*omega/2+1/ZL);
117         % ligne 1 -2
118         C2=C*random(pdf_C);
119         X2=imag(Zlig)*random(pdf_X);
120         R2=real(Zlig)*random(pdf_R);

```

```

121     Ztot=1/(1/Ztot+1j*C2*omega/2);
122     Ztot=Ztot+(R2+1j*X2);
123     % charge noeud 1
124     Ztot=1/(1/Ztot+1/ZL+1j*C2*omega/2);
125     % ligne PCC-1
126     C1=C*random(pdf_C);
127     X1=imag(Zlig)*random(pdf_X);
128     R1=real(Zlig)*random(pdf_R);
129     Ztot=1/(1/Ztot+1j*C1*omega/2);
130     Ztot=Ztot+(R1+1j*X1);
131     Ztot=1/(1/Ztot+1j*C1*omega/2);
132     % on remonte avant default
133     % PCC
134     Ztot=Ztot+Rcc+1j*Xcc;
135 end
136
137 %% Calcul des grandeurs vues par le relais
138 % relais situe au noeud 2
139 % On calcule Itot et on redescend pour avoir Vmes, Imes
140
141 Itot=E/Ztot;
142 Ilig=Itot;
143 Vmes=E-(Rcc+1j*Xcc)*Ilig;
144 % tension au noeud 1 (sortie du generateur)
145 % le relais est au noeud 2 !
146
147 switch lignedef
148     case 1
149         % default au bout de posdef*ligne1
150         % C1*posdef/2 a la tension Vmes
151         Ilig=Ilig-Vmes*1j*C1p*omega/2;
152         Vmes=Vmes-(R1p+1j*X1p)*Ilig;
153         % tension au default
154         Ilig=Ilig-Vmes*1j*C1p*omega/2;
155         Ilig=Ilig-Vmes/Rdef;
156         %C1*(1-posdef)/2 en //
157         Ilig=Ilig-Vmes*1j*C1*omega/2;
158         Vmes=Vmes-(R1+1j*X1)*Ilig;
159         Ilig=Ilig-Vmes*1j*C1*omega/2;
160         % au noeud 2 du relai !
161     case 2
162         Ilig=Ilig-Vmes*1j*C1*omega/2;
163         Vmes=Vmes-(R1+1j*X1)*Ilig;
164         Ilig=Ilig-Vmes*1j*C1*omega/2;
165     case 3

```



```

166     Ilig=Ilig-Vmes*1j*C1*omega/2;
167     Vmes=Vmes-(R1+1j*X1)*Ilig;
168     Ilig=Ilig-Vmes*1j*C1*omega/2;
169     % au noeud 2 du relai !
170 end
171 end

```

Listing 1 – Code MATLAB pour le calcul de l'impédance équivalente du réseau selon la position du défaut

8.1.2 Génération des densités de probabilité via une simulation de Monte Carlo

```

1  clc; clear ; close all ; path=pwd();
2  [s,e]=regexp(path, ' .+(?=[\\/]){1,2}gridModel) ');
3  path=path(s:e); addpath(genpath(path)); clear s e path
4
5  %% Definition des parametres
6  Zlig = 3 + 1j * 33; % Impedance de ligne
7  U = 400e3; % Tension nominale
8  Scc = 800e6; % Puissance de court-circuit
9  XR_ratio = 30; % Rapport X/R du reseau
10 f0 = 50; % Frequence du reseau
11 Clig = 1e-6; % Capacite lineique de la ligne
12 Rdef = 1; % Resistance du default
13 PL = 200e6; % Puissance de charge
14 cosphiL = 0.95; % Facteur de puissance
15 N_MC = 10000; % Nombre de simulations Monte Carlo
16
17 %% Calcul des grandeurs electriques
18 E = U / sqrt(3); % Tension du reseau
19 Xcc = Scc / (3 * E^2); % Reactance de court-circuit
20 Rcc = Xcc / XR_ratio; % Resistance de court-circuit
21 RL = 3 * E^2 / PL; % Resistance lineique de la ligne
22 QL = sqrt((PL / cosphiL)^2 - PL^2); % Puissance reactive
23 XL = 3 * E^2 / QL; % Reactance lineique de la ligne
24 omega = 2 * pi * f0; % Pulsation
25
26 %% Definition des incertitudes
27 incerZ = 0.1; % Incertitude de mesure de l'impedance
28 incerC = 0.05; % Incertitude de mesure de la capacite
29 typedist = 'gauss'; % Choix du type de distribution pour les
    incertitudes sur R, X, C dans le MC
30

```

```

31 %% Lois de probabilite
32 switch typedist
33     case 'uniform' % Densites uniformes
34         pdf_R = makedist('Uniform', 'lower', 1 - incerZ, '
35             upper', 1 + incerZ);
36         pdf_X = makedist('Uniform', 'lower', 1 - incerZ, '
37             upper', 1 + incerZ);
38         pdf_C = makedist('Uniform', 'lower', 1 - incerC, '
39             upper', 1 + incerC);
40     case 'gauss' % Densites gaussiennes
41         pdf_R = makedist('normal', 'mu', 1, 'sigma', incerZ /
42             3);
43         pdf_X = makedist('normal', 'mu', 1, 'sigma', incerZ /
44             3);
45         pdf_C = makedist('normal', 'mu', 1, 'sigma', incerC /
46             3);
47 end
48
49 %% Definition du plan d'experience
50 ligne_def = [2 3]'; % Choix des lignes pour les defaults
51 N_pos = 10000; % Nombre de positions de defaults
52 posdefvec = rand(N_pos, 1); % Positions de defaults aleatoires
53 vecpos = (1:length(posdefvec))'; % Numerotation des defaults
54
55 plan_exp = kron(ligne_def, ones(length(posdefvec), 1));
56 plan_exp = [plan_exp, kron(ones(length(ligne_def), 1), vecpos)
57     ];
58
59 %% Monte Carlo vectorise pour chaque experience
60 nExp = size(plan_exp,1); % Nombre d'experience
61 Zapp = zeros(length(plan_exp(:,1)), N_MC); % Initialisation de
62     Zapp
63
64 for indexp = 1:nExp
65     lignedef = plan_exp(indexp, 1); % Choix de la ligne indexp
66     posdef = posdefvec(plan_exp(indexp, 2)); % Position du
67         default
68     disp(['Experience n ', num2str(indexp), ' sur ', num2str(
69         nExp)]);
70
71     % Appel unique de la fonction (pour des parametres
72         identiques)
73     [Vmes0, Imes0] = calcul_tension_courant_relai_ddp(...
74         E, Xcc, Rcc, Zlig, Clig, RL, XL, ...
75         pdf_R, pdf_X, pdf_C, lignedef, posdef, omega, Rdef);

```

```

65
66     % Generation vectorisee des perturbations aleatoires pour
        N_MC simulations
67     r_R = random(pdf_R, N_MC, 1);
68     r_X1 = random(pdf_X, N_MC, 1);
69     r_X2 = random(pdf_X, N_MC, 1);
70     r_C = random(pdf_C, N_MC, 1);
71
72     % Calcul vectorise de Vmes et Imes
73     Vmes_vec = abs(Vmes0) .* r_R .* exp(1j * (angle(Vmes0) +
        r_X1));
74     Imes_vec = abs(Imes0) .* r_C .* exp(1j * (angle(Imes0) +
        r_X2));
75
76     % Calcul de l'impedance apparente pour toutes les
        simulations
77     Zapp(indexp, :) = Vmes_vec ./ Imes_vec;
78 end
79
80 %% Identification des defauts par ligne
81 indlig1 = find(plan_exp(:,1) == 3); % Indices des defauts sur
        ligne 1
82 indlig2 = find(plan_exp(:,1) == 2); % Indices des defauts sur
        ligne 2
83
84 Z1 = Zapp(indlig2,:); % Valeurs de Zapp pour ligne 1
85 Z2 = Zapp(indlig1,:); % Valeurs de Zapp pour ligne 2
86
87 %% Histogrammes 2D
88 nbins = 25; % Nombre de bins
89
90 % Histogramme pour la ligne 1
91 h1 = histogram2(real(Z1(:)), imag(Z1(:)), nbins);
92 val1 = zeros(size(h1.Values) + 2);
93 val1(2:end-1, 2:end-1) = h1.Values;
94 X1 = h1.XBinEdges; Y1 = h1.YBinEdges;
95
96 % Histogramme pour la ligne 2
97 h2 = histogram2(real(Z2(:)), imag(Z2(:)), nbins);
98 val2 = zeros(size(h2.Values) + 2);
99 val2(2:end-1, 2:end-1) = h2.Values;
100 X2 = h2.XBinEdges; Y2 = h2.YBinEdges;
101
102 %% Lissage des histogrammes
103 sigma = 1.2; % Ecart-type du lissage

```

```

104 kernelSize = 4; % Taille du noyau
105 h = fspecial('gaussian', kernelSize, sigma); % Creation du
    masque gaussien
106
107 % Application du masque de convolution a l'histogramme
108 val1_smooth = conv2(val1, h, 'same');
109 val2_smooth = conv2(val2, h, 'same');
110 % Suppression des artefacts aux bords
111 bord = 1;
112 val1_smooth(1:bord, :) = 0;
113 val1_smooth(end-bord+1:end, :) = 0;
114 val1_smooth(:, 1:bord) = 0;
115 val1_smooth(:, end-bord+1:end) = 0;
116
117 val2_smooth(1:bord, :) = 0;
118 val2_smooth(end-bord+1:end, :) = 0;
119 val2_smooth(:, 1:bord) = 0;
120 val2_smooth(:, end-bord+1:end) = 0;
121 %% Affichage des histogrammes
122 figure;
123
124 % Histogramme original pour Z1
125 subplot(2,2,1);
126 bar3(X1(1:end-1), val1(2:end-1, 2:end-1)');
127 title('Histogramme original - Ligne 1');
128 xlabel('Re(Z)');
129 ylabel('Im(Z)');
130 zlabel('Frequence');
131 grid on; view(3);
132
133 % Histogramme lisse pour Z1
134 subplot(2,2,2);
135 bar3(X1(1:end-1), val1_smooth(2:end-1, 2:end-1)');
136 title('Histogramme lisse - Ligne 1');
137 xlabel('Re(Z)');
138 ylabel('Im(Z)');
139 zlabel('Frequence lisee');
140 grid on; view(3);
141
142 % Histogramme original pour Z2
143 subplot(2,2,3);
144 bar3(X2(1:end-1), val2(2:end-1, 2:end-1)');
145 title('Histogramme original - Ligne 2');
146 xlabel('Re(Z)');
147 ylabel('Im(Z)');

```

```

148 xlabel('Frequence');
149 grid on; view(3);
150
151 % Histogramme lisse pour Z2
152 subplot(2,2,4);
153 bar3(X2(1:end-1), val2_smooth(2:end-1, 2:end-1)');
154 title('Histogramme lisse - Ligne 2');
155 xlabel('Re(Z)');
156 ylabel('Im(Z)');
157 xlabel('Frequence lissee');
158 grid on; view(3);
159
160
161 %% Interpolation des histogrammes (Brut)
162 [x1, y1] = ndgrid([X1(1), (X1(1:end-1) + X1(2:end))/2, X1(end)
163     ], ...
164     [Y1(1), (Y1(1:end-1) + Y1(2:end))/2, Y1(end)
165     ]); % Creation de la grille d'
166         interpolation pour Z1
167 f1 = griddedInterpolant(x1, y1, val1, 'linear', 'nearest'); %
168     Interpolation de l'histogramme sur la grille
169
170 [x2, y2] = ndgrid([X2(1), (X2(1:end-1) + X2(2:end))/2, X2(end)
171     ], ...
172     [Y2(1), (Y2(1:end-1) + Y2(2:end))/2, Y2(end)
173     ]); % Creation de la grille d'
174         interpolation pour Z2
175 f2 = griddedInterpolant(x2, y2, val2, 'linear', 'nearest'); %
176     Interpolation de l'histogramme sur la grille
177
178 %% Interpolation des histogrammes (Lisses)
179 [x1_smooth, y1_smooth] = ndgrid([X1(1), (X1(1:end-1) + X1(2:
180     end))/2, X1(end)], ...
181     [Y1(1), (Y1(1:end-1) + Y1(2:
182     end))/2, Y1(end)]);
183 f1_smooth = griddedInterpolant(x1_smooth, y1_smooth,
184     val1_smooth, 'linear', 'nearest');
185
186 [x2_smooth, y2_smooth] = ndgrid([X2(1), (X2(1:end-1) + X2(2:
187     end))/2, X2(end)], ...
188     [Y2(1), (Y2(1:end-1) + Y2(2:
189     end))/2, Y2(end)]);
190 f2_smooth = griddedInterpolant(x2_smooth, y2_smooth,
191     val2_smooth, 'linear', 'nearest');
192

```

```

179 %% Normalisation
180 dom1 = myPolygon([x1(1)-1, y1(1)-1; x1(1)-1, y1(end)+1; x1(end)
    )+1, y1(end)+1; x1(end)+1, y1(1)-1], 0.2); % Domaine de la
    densite
181 intF1 = dom1.int(f1); % Calcul du volume interieur au domaine
182 f1 = griddedInterpolant(x1, y1, val1/intF1, 'linear', 'nearest
    '); % Division de la densite par le volume pour normaliser
    le volume total a 1
183
184 dom2 = myPolygon([x2(1)-1, y2(1)-1; x2(1)-1, y2(end)+1; x2(end)
    )+1, y2(end)+1; x2(end)+1, y2(1)-1], 0.2); % Domaine de la
    densite
185 intF2 = dom2.int(f2); % Calcul du volume interieur au domaine
186 f2 = griddedInterpolant(x2, y2, val2/intF2, 'linear', 'nearest
    '); % Division de la densite par le volume pour normaliser
    le volume total a 1
187
188 % Normalisation des histogrammes lisses
189 intF1_smooth = dom1.int(f1_smooth);
190 f1_smooth = griddedInterpolant(x1_smooth, y1_smooth,
    val1_smooth/intF1_smooth, 'linear', 'nearest');
191
192 intF2_smooth = dom2.int(f2_smooth);
193 f2_smooth = griddedInterpolant(x2_smooth, y2_smooth,
    val2_smooth/intF2_smooth, 'linear', 'nearest');
194
195 %% Grille pour l'affichage
196 x = linspace(min([X1(:); X2(:)]) - 1, max([X1(:); X2(:)]) + 1,
    300);
197 y = linspace(min([Y1(:); Y2(:)]) - 1, max([Y1(:); Y2(:)]) + 1,
    300);
198 [xx, yy] = ndgrid(x, y);
199
200 %% Affichage des interpolations
201 figure;
202
203 % Avant lissage
204 subplot(1,2,1);
205 surf(xx, yy, f1(xx, yy), 'FaceColor', 'g', 'FaceAlpha', 0.5, '
    EdgeAlpha', 0.2);
206 hold on;
207 surf(xx, yy, f2(xx, yy), 'FaceColor', 'r', 'FaceAlpha', 0.5, '
    EdgeAlpha', 0.2);
208 scatter3(0, 0, 0, 'r', 'filled'); % Point X0
209 hold off;

```

```

210 legend({'Ligne 1 (Brut)', 'Ligne 2 (Brut)', 'Point X0'}, '
      Location', 'Best');
211 xlabel('R (Ohm)'); ylabel('X (Ohm)'); zlabel('Densite');
212 title('Histogrammes interpoles AVANT lissage');
213 grid on;
214
215 % Apres lissage
216 subplot(1,2,2);
217 surf(xx, yy, f1_smooth(xx, yy), 'FaceColor', 'g', 'FaceAlpha',
      0.5, 'EdgeAlpha', 0.2);
218 hold on;
219 surf(xx, yy, f2_smooth(xx, yy), 'FaceColor', 'r', 'FaceAlpha',
      0.5, 'EdgeAlpha', 0.2);
220 scatter3(0, 0, 0, 'r', 'filled'); % Point X0
221 hold off;
222 legend({'Ligne 1 (Lisse)', 'Ligne 2 (Lisse)', 'Point X0'}, '
      Location', 'Best');
223 xlabel('R (Ohm)'); ylabel('X (Ohm)'); zlabel('Densite');
224 title('Histogrammes interpoles APRES lissage');
225 grid on;
226
227 %% Sauvegarde des variables
228 save('f1.mat', 'f1_smooth');
229 save('f2.mat', 'f2_smooth');

```

Listing 2 – Code MATLAB pour la génération des densités de probabilité via une simulation de Monte Carlo

8.2 Annexe 2 : Algorithme Déterministe

```

1
2 clc; clear ; close all ; path=pwd();
3 [s,e]=regexp(path, ' .+(?=[\\/]){1,2}shap0pt) ');
4 path=path(s:e); addpath(genpath(path)); clear s e path
5 %% Initialisation
6 f1 = loadDDP1();
7 f2 = loadDDP2();
8
9
10
11 % Forme
12 nb = 20; % Nombre de poits de la frontiere.
13 noise = 0.5; % Bruit sur les ordonnees des points initiaux de
    la frontiere
14 absopt = linspace(-1,10,nb); % On fixe les abscisses des
    points de la frontiere
15
16 % Fonction objectif
17 omega = 0.90; % w*VP + (1-w)*VN
18 omega2 = 0.08; % optim par rapport au perimetre ?
19 omega3 = 0.85; % optim avec FN ?
20 beta = 300 ; %Force de la contrainte sur FP et FN. Entre 150
    et 400
21 eps = 0.01;
22
23 %MultiStarts
24 nStarts=80;
25
26 %petit polygone
27 Y0=30;
28
29
30 %% Fonctions objectif et contraintes
31 function [f, g] = obj(xyOpti, f1, f2, absopt, omega, omega2,
    omega3, beta, eps)
32 % objective function
33
34 v_petit = [-1,3,absopt(end:-1:1);
35     -5,-5,xyOpti(end:-1:1)];
36
37 v_grand = [25,-1,absopt;
38     80,80,xyOpti];
39

```



```

40
41 try % try/Catch necessaire pour forcer l'algo a ne pas s'
    arreter quand il fait s'intersecter les cotes des polygones
42
43
44     sh_petit = myPolygon(reshape(v_petit,2,[]));
45     sh_grand = myPolygon(reshape(v_grand,2,[]));
46     P_petit = sh_petit.perim();
47     P_grand = sh_grand.perim();
48
49     VP = sh_petit.int(f1);
50     FN = sh_grand.int(f1);
51     FP = sh_petit.int(f2);
52     VN = sh_grand.int(f2);
53
54
55
56     f = omega2*(P_petit) + (1-omega2)*( -(omega)*VP - (1-omega)
        *VN + omega3*beta / 2 * (FP - eps)^2 + (1-omega3)*beta
        /2 * (FN- eps)^2 );
57
58 catch; f = NaN; g = NaN(size(xyOpti));
59 end
60 end
61
62 function [g, h]= constr(xyOpti)
63 g=0;
64 h=0;
65 end
66
67
68 %% Algorithms parameters
69 algo = "interior-point";
70 display = 'final';
71 sdgrad = false; % permet de resoudre avec les differences
    finies
72 maxfeval = 1000;
73 maxiter = 100;
74 options = optimoptions('fmincon', ...
75     'Display', display, ...
76     'Algorithm', algo, ...
77     'SpecifyObjectiveGradient', sdgrad, ...
78     'MaxFunctionEvaluations', maxfeval,...
79     'MaxIterations', maxiter,...
80     'ConstraintTolerance', 1e-6,...

```

```

81     'ScaleProblem', true,...
82     'EnableFeasibilityMode', true,...
83     'SubproblemAlgorithm', "cg",...
84     'StepTolerance', 1e-8,...
85     'FunctionTolerance', 1e-8);
86
87 %% Algorithme d'optimisation
88 tic;
89
90 %une ligne par start
91 nVariables=nb;
92 x0_multi = zeros(nStarts,nVariables) ;
93
94 xopt_multi = zeros(nStarts,nVariables);
95 fopt_multi = zeros(nStarts,1);
96 exitflag_multi = zeros(nStarts,1);
97
98
99 parfor cpt = 1:nStarts
100     disp(strcat("Progress ",num2str(cpt/nStarts*100)," %")) %
        Affichage de l'avancement
101     x0 = Y0.*ones(1,nb).*(1-noise +2*noise*rand(1,nb));
102     x0_multi(cpt,:) = x0;
103
104     % Definition de la fonction objectif en passant les
        arguments
105     % (nécessaire a cause de la parallelisation
106     myObj = @(x) obj(x, f1, f2, absopt, omega, omega2, omega3,
        beta, eps);
107
108     problem = struct();
109     problem.options = options;
110     problem.objective = myObj;
111
112     while isnan(problem.objective(x0))
113         x0 = Y0.*ones(1,nb).*(1-noise +2*noise*rand(1,nb));
114
115         disp("pt invalide")
116     end
117
118     x0_multi(cpt,:) = x0;
119     problem.x0=x0;
120     problem.solver = 'fmincon';
121
122     problem.nonlcon = @constr;

```

```

123     [xopt,fopt,exitflag] = fmincon(problem);
124     xopt_multi(cpt,:) = xopt;
125     fopt_multi(cpt,:) = fopt;
126     exitflag_multi(cpt)=exitflag;
127 end
128 t = toc; %Temps de calcul
129
130 %% Recuperation de la solution
131 [fopt_multi_sorted, idx] = sort(fopt_multi); % Trie V et
    recupere les indices de tri
132 xopt_multi_sorted = xopt_multi(idx, :); % Rearrange M en
    fonction des indices tries
133 sol = xopt_multi_sorted(1,:);
134
135
136 %% Affichage des valeurs des Objectifs
137
138 plot(sort(fopt_multi));
139 grid on;
140 ylabel("Objective function");
141 title("Repartition of the results")
142
143
144 %% Affichage de la solution
145
146 sol_petit = [-1,3,absopt(end:-1:1);
147             -5,-5,sol(end:-1:1)];
148
149 sol_grand = [25,-1,absopt;
150             80,80,sol];
151
152 shpSol_petit = myPolygon(sol_petit);
153 shpSol_grand = myPolygon(sol_grand);
154
155 polysh_petit=polyshape(sol_petit');
156 polysh_grand=polyshape(sol_grand');
157
158 x=linspace(-10,30,100);
159 y=linspace(-10,100,100);
160 [X,Y] = meshgrid(x,y);
161
162 polysh_petit.plot;hold on
163 polysh_grand.plot;
164 % surf(X,Y,f1(X,Y),'facecolor','g','facealpha',0.3, 'edgealpha
    ',0.2,'displayname','f1'); hold on

```

```

165 % surf(X,Y,f2(X,Y),'facecolor','r','facealpha',0.3, 'edgealpha
    ',0.2,'displayname','f2'); hold off
166 % view(-40,40);
167 contour(X,Y,f2(X,Y),18,'r');
168 contour(X,Y,f1(X,Y),10,'g');
169
170 hold off;
171 axis normal
172 title(['Optimized Shape (t = ', num2str(t,3), ' s)'])
173
174
175 VP = shpSol_petit.int(f1);
176 FN = shpSol_grand.int(f1);
177 FP = shpSol_petit.int(f2);
178 VN = shpSol_grand.int(f2);
179
180 disp(strcat("VP = ",num2str(VP)))
181 disp(strcat("FP = ",num2str(FP)))
182 disp(strcat("VP2 = ",num2str(VN)))
183 disp(strcat("FN = ",num2str(FN)))
184 disp(strcat("Perimetre zone 1 = ",num2str(shpSol_petit.perim()
    )))
185 disp(strcat("Grand P = ",num2str(shpSol_grand.perim())))
186
187
188 %% Chargement des DDP obtenues par MC
189 function f1 = loadDDP1()
190 load('f1_4.mat')
191 f1=f1_smooth;
192 end
193
194 function f2 = loadDDP2()
195 load('f2_4.mat');
196 f2=f2_smooth;
197 end

```

Listing 3 – Code MATLAB pour l’optimisation de la forme du polygone en utilisant un algorithme déterministe.

8.3 Annexe 3 : Points des polygones optimisés.

8.3.1 Polygones de la littérature

```
1 zone_1 = [0, 13.09 , 15.6 , -12.3 ;
2           0, -1.19 , 26.4 , 26.4 ];
3 zone_2 = [0, 19.64 , 23.4 , -18.47;
4           0, -1.78 , 39.6 , 39.6 ];
```

8.3.2 Exemples de polygones obtenus avec fmincon

```
1 absopt = linspace(-1,10,20);
2 solu = [18.9085 22.2563 24.7384 25.4458 26.4435 26.8806
3         27.0428 27.1045 27.2190 27.2552 27.2886 27.4259 27.4730
4         27.5425 27.4554 27.3389 26.9984 26.3434 25.5472 22.7413];
5 sol_petit = [0,3,absopt(end:-1:1);
6              0,0,solu(end:-1:1)];
```

8.3.3 Exemples de polygones obtenus avec NSGAI

```
1 zone_1 = [-1.0000 , -5.0000, 3.0000 , -5.0000, 15.0000 ,
2           27.0000, 10.6667, 22.7399 , 8.3333 26.0058, 6.0000
3           32.9578, 3.6667 34.4220, 1.3333, 28.1524 , -1.0000 ,
4           29.0000]
5
6 zone_1 = [-1.0000 , -5.0000 , 3.0000 , -5.0000 , 15.0000 ,
7           27.0000 , 10.6667, 27.9954 , 8.3333 , 26.9707 , 6.0000 ,
8           27.3208 , 3.6667 , 27.8544 , 1.3333 , 27.1380 , -1.0000 ,
9           29.0000]
10
11 zone_1 = [-1.0000 , -5.0000 , 3.0000 , -5.0000, 15.0000 ,
12           27.0000 , 10.6667 , 25.7997 , 8.3333 , 19.3683 , 6.0000 ,
13           27.2052 , 3.6667 26.2720 , 1.3333 , 27.1691 , -1.0000 ,
14           29.0000]
```

8.4 Annexe 4 : Algorithme Génétique

8.4.1 Algorithme Génétique Pareto

```

1 %% Test optim Ines
2
3 addpath(genpath('C:\Users\Ines Ben Cherifa\Desktop\St7\st7-
  shapopt-grid-protection\shapOpt\src'));
4 addpath(genpath('C:\Users\Ines Ben Cherifa\Desktop\St7\st7-
  shapopt-grid-protection\shapOpt\data'));
5 clear ; close all ; path=pwd();
6 [s,e]=regexp(path, '.*(?:=[\\\/]{1,2}shapOpt)');
7 path=path(s:e); addpath(genpath(path)); clear s e path
8
9 %%%%%%%%%%%%%%%%%%%%%%%%%%%%%%%%%%%%%%%%%1) DDP
10
11 % declaration des densit s f1 et f2
12
13 f1= loadDDP1();
14 f2 = loadDDP2();
15
16
17 %%%%%%%%%%%%%%%%%%%%%%%%%%%%%%%%%2) Optimisation
18
19 nb = 6; % le nombre de points de la frontiere
20 abspt = linspace(-1, 20, nb);
21
22 lb = zeros(1, nb); % Creation du vecteur des bornes
   inferieures, qui va permettre de generer des polygones qui
   n'ont pas de cotes qui s'interceptent
23
24 for i = 0:nb-1 % La borne inferieure depend du point de la
   frontiere considere
25     valeur_test = (-1 + i * 26 / (nb - 1));
26
27     if valeur_test < 3
28         lb(i+1) = -5 + 1e-6;
29     else
30         lb(i+1) = (35 / 22) * valeur_test - (212 / 22) + 1e-6;
31     end
32 end
33
34 ub = 40*ones(1,nb); % Borne superieure fixe
35 options = optimoptions('gamultiobj', 'PopulationSize', 400,
   ...

```

```

36     'MaxGenerations', 50, ...
37     'PlotFcn', {@gaplotpareto}, ...
38     'Display', 'iter',...
39     'UseParallel',true);
40 % modif pour parallelisation
41 myObj = @(x) multi_objective(x, nb, f1, f2);
42
43 [x, fval] = gamultiobj(myObj, nb, [], [], [], [], lb, ub,
44     options);
45
46 %%%%%%%%%%%%%%%%%%%%%%%%%%%%%%%%%%%%%%%%%%%%%%%%%%%%%%%%% 3) Traces
47
48 figure;
49 ax1 = subplot(1,2,1);
50 % scatter3(fval(:,1), fval(:,2), fval(:,3), 50, 'b', 'filled')
51 ;
52 scatter(fval(:,1), fval(:,2), 50, 'b', 'filled');
53 title('Front de Pareto (3D)');
54 xlabel('Vrai positif');
55 ylabel('Faux positif');
56 % zlabel('Vrai negatif');
57 grid on;
58 hold on;
59 % view(3); % Affichage en 3D
60 % rotate3d(ax1, 'on'); % Activation de la rotation
61
62 % Subplot droite : Polygone
63 ax2 = subplot(1,2,2);
64 % subplot(1,2,2);
65 title('Polygone associe');
66 axis equal;
67 hold on;
68 %view(3); % Activer la vue 3D pour l'affichage
69 rotate3d(ax2, 'on');
70
71 % Attente de clics utilisateur uniquement sur le front de
72 Pareto
73 while true
74     % Attendre un clic
75     waitforbuttonpress; % Attend un appui (clic ou touche
76     clavier)
77
78     % Verifier si le clic a eu lieu dans ax1 (subplot gauche)
79     if gca == ax1

```

```

77     % Recuperer les coordonnees du clic
78     point = get(gca, 'CurrentPoint');
79     x_click = point(1,1);
80     y_click = point(1,2);
81
82     % Trouver le point du front le plus proche
83     distances = sqrt((fval(:,1) - x_click).^2 + (fval(:,2)
84                   - y_click).^2);
85     [~, idx] = min(distances);
86
87     % supprimer le dernier point
88     try
89         delete(h2)
90     end
91
92     % Mettre en evidence le point selectionne en rouge
93     h2 = scatter(fval(idx,1), fval(idx,2), 100, 'r', '
94           filled');
95
96     % Extraire les coordonnees du polygone
97     sol = x(idx,:); % Seuls les points de la frontiere
98                   sont optimises
99
100     sol_petit = [-1,3, absopt(end:-1:1); -5,-5 ,flip(sol)
101                 ];
102     % Fixer le 3e point de sol_petit a (20, 30)
103     sol_petit(1, 3) = 25; % Coordonnee x du 3e point
104     sol_petit(2, 3) = 30; % Coordonnee y du 3e point
105
106     sol_petit(1, end) = -1; % Coordonnee x du dernier point
107     sol_petit(2, end) = 27; % Coordonnee y du dernier point
108     x1 = sol_petit';
109
110     disp(x1)
111
112     forme1 = myPolygon(x1);
113
114     sol_grand = [25,-1,absopt;80,80,sol];
115
116     % Fixer l'avant-dernier point de sol_grand a (20, 30)
117     sol_grand(1, end) = 25; % Coordonnee x de l'avant-dernier
118                             point
119     sol_grand(2, end) = 30; % Coordonnee y de l'avant-dernier
120                             point

```



```

116 sol_grand(1, 3) = -1; % Coordonnee x du 3eme point
117 sol_grand(2, 3) = 27; % Coordonnee y du 3eme point
118
119     x2 = sol_grand';
120
121     forme2 = myPolygon(x2);
122
123
124     J1 = forme1.int(f1);
125     J2 = forme1.int(f2);
126     J3 = forme2.int(f2);
127     J4= forme2.int(f1);
128
129
130     % Afficher le polygone correspondant
131     subplot(ax2); % Se placer sur le bon subplot
132     cla;
133     hold on;
134
135     xx=linspace(-10,30,100);
136     y=linspace(-10,100,100);
137
138     [X,Y] = meshgrid(xx,y);
139     contour(X,Y,f2(X,Y), 10,'r');
140     contour(X,Y,f1(X,Y), 10,'g');
141     scatter(0,0,'r','filled','displayname','X0');%hold off
142     legend(); grid on;
143
144     sgtitle(sprintf('Le taux de vrai positif : %.2f\nLe
        taux faux positif : %.5f\nLe taux de vrai negatif :
        %.2f\nLe taux de faux n gatif : %.2f', J1, J2,J3,
        J4));
145     axis normal
146     polysh_petit=polyshape(x1);
147     polysh_petit.plot;
148     polysh_grand=polyshape(x2);
149     polysh_grand.plot;
150     hold off
151 end
152 end
153
154
155
156
157 %% tracer une courbe ROC

```

```

158
159 figure;
160 hold on; % Permet de tracer plusieurs courbes sur le meme
      graphique
161 xlabel('Taux Faux positifs');
162 ylabel('Taux Vrais positifs');
163 title('Courbe ROC');
164 T2_vect = []; % Vecteur pour stocker tous les faux positifs
165 T1_vect = [];
166
167 for i = 1:size(x, 1) % Parcourir chaque ligne de la matrice x
168     sol = x(i, :);
169     sol_petit = [-1,3, absopt(end:-1:1); -5,-5 ,flip(sol)
      ];
170     % Fixer le 3e point de sol_petit a (20, 30)
171     sol_petit(1, 3) = 20; % Coordonnee x du 3e point
172     sol_petit(2, 3) = 30; % Coordonnee y du 3e point
173 %
174     sol_petit(1, end) = -1; % Coordonnee x de l'avant-dernier
      point
175 sol_petit(2, end) = 27; % Coordonnee y de l'avant-dernier
      point
176     x1 = sol_petit';
177     forme1 = myPolygon(x1);
178
179
180     sol_grand = [25,-1,absopt;80,80,sol];
181
182 % Fixer l'avant-dernier point de sol_grand a (20, 30)
183 sol_grand(1, end) = 20; % Coordonnee x de l'avant-dernier
      point
184 sol_grand(2, end) = 30; % Coordonnee y de l'avant-dernier
      point
185 sol_grand(1, 3) = -1; % Coordonnee x du 3eme point
186 sol_grand(2, 3) = 27; % Coordonnee y du 3eme point
187     x2 = sol_grand';
188     forme2 = myPolygon(x2);
189     J1 = forme1.int(f1);
190     J2 = forme1.int(f2);
191     J3 = forme2.int(f2);
192     J4 = forme2.int(f1);
193     T1 = J1/(J1+J4);
194     T2 = J2/(J2+J3);
195     T2_vect = [T2_vect, T2];
196     T1_vect = [T1_vect, T1];

```

```

197     plot(T2, T1, 'o', 'DisplayName', sprintf('Ligne %d', i));
198 end
199
200 [T2_sorted, idx] = sort(T2_vect);
201 T1_sorted = T1_vect(idx); % Reorganiser T1 en fonction de T2
    trie
202
203 % Calculer l'aire sous la courbe (AUC) avec trapz
204 AUC = trapz(T2_sorted, T1_sorted);
205 AUC= 1- AUC;
206 title(sprintf('Courbe ROC (AUC = %.4f)', AUC));
207 text(0.6, 0.1, sprintf('AUC = %.4f', AUC), 'FontSize', 12, '
    FontWeight', 'bold', 'Color', 'red');
208
209 hold off;
210
211
212
213
214 %%%%%%%%%%%%%%%%%%%%%%%%%%%%%%%%%%%%%%%%%%%%%%%%%%%%%%%%%
215 %% Fonctions utiles
216
217 %% A) DDP
218
219 function f1 = loadDDP1()
220 load('f1_4.mat')
221 f1=f1_smooth;
222 end
223
224 function f2= loadDDP2()
225 load('f2_4.mat');
226 f2=f2_smooth;
227 end
228
229 %% B) Optimisation
230
231 function [J, ConstrVals] = multi_objective(x, nb, f1, f2)
232     %nb =6;
233     absopt = linspace(-1,20,nb);
234
235     sol = x; % Seuls les points de la frontiere sont
        optimises
236
237 sol_petit = [-1,3, absopt(end:-1:1);
238             -5,-5 ,flip(sol)];

```

```

239
240 sol_petit(1, 3) = 25; % Coordonnee x du 3e point
241 sol_petit(2, 3) = 30;
242
243 sol_petit(1, end) = -1; % Coordonnee x de l'avant-dernier
    point
244 sol_petit(2, end) = 27; % Coordonnee y de l'avant-dernier
    point
245 % x1 = order_points(sol_petit');
246 forme1 = myPolygon(sol_petit',2);
247
248 sol_grand = [25,-1,absopt;80,80,sol];
249
250 sol_grand(1, end) = 25; % Coordonnee x de l'avant-dernier
    point
251 sol_grand(2, end) = 30; % Coordonnee y de l'avant-dernier
    point
252 sol_grand(1, 3) = -1; % Coordonnee x du 3eme point
253 sol_grand(2, 3) = 27; % Coordonnee y du 3eme point
254
255 % x2 = order_points(sol_grand');
256 forme2 = myPolygon(sol_grand',2);
257
258 J1 = forme1.int(f1); % VP (?)
259 J2 = forme1.int(f2); % FP (?)
260 J3 = forme2.int(f1); % FN (?)
261 J4 = forme2.int(f2); % VN (?)
262 P_petit = forme1.perim();
263 T1= J1/(J1+J4); % VP normalise
264 T2= J2/(J2+J3);
265 % J = [-0.6*T1,0.4*T2]; % avec ponderation
266 J = [-T1,T2]; % sans ponderation
267
268 % ConstrVals = [P_petit-345];
269 ConstrVals = []; % pas de contraintes sur le perimetre
270 end

```

Listing 4 – Code MATLAB, optimisation de la forme en utilisant un algorithme génétique

8.4.2 Algorithme Génétique avec la fonction objectif de la méthode déterministe

```

1  addpath(genpath('C:\Users\Ines Ben Cherifa\Desktop\St7\st7-
    shapopt-grid-protection\shapOpt\src'));
2  clear ; close all ; path=pwd();
3  [s,e]=regexp(path,'.+(?:=[\\\/]{1,2}MainScripts)');
4  path=path(s:e); addpath(genpath(path)); clear s e path
5  %%
6  f1= loadDDP1();
7  f2 = loadDDP2();
8
9  function f1 = loadDDP1()
10 load('f1_4.mat')
11 f1=f1_smooth;
12 end
13
14 function f2= loadDDP2()
15 load('f2_4.mat');
16 f2=f2_smooth;
17 end
18
19 %%
20
21 nb = 20;
22 absopt = linspace(-1, 20, nb);
23
24 lb = zeros(1, nb); % Initialisation du vecteur
25
26 for i = 0:nb-1
27     valeur_test = (-1 + i * 26 / (nb - 1));
28
29     if valeur_test < 3
30         lb(i+1) = -5 + 1e-6; % i+1 car MATLAB indexe a partir
            de 1
31     else
32         lb(i+1) = (35 / 22) * valeur_test - (212 / 22) + 1e-6;
33     end
34 end
35
36 ub = 50*ones(1,nb); % Borne superieure fixe
37 options = optimoptions('gamultiobj', 'PopulationSize', 300, '
    MaxGenerations', 50, 'Display', 'iter');
38 myObj = @(x) multi_objective(x, nb, f1, f2);
39

```

```

40 [x, fval] = gamultiobj(myObj, nb, [], [], [], [], lb, ub,
    options);
41
42 function [J, ConstrVals] = multi_objective(x, nb, f1, f2)
43     omega = 0.95; % w*VP + (1-w)*VN
44     omega2 = 0.08; %optim par rapport au perimetre ?
45     omega3 = 0.85; %optim avec FN ?
46     beta = 250;
47     eps = 0.01;
48     absopt = linspace(-1,20,nb);
49     sol=x;
50     v_petit = [-1,3, absopt(end:-1:1);
51               -5,-5 ,flip(sol)];
52     v_petit(1, 3) = 20;
53     v_petit(2, 3) = 30;
54     v_petit(1, end) = -1; % Coordonnee x de l'avant-dernier
        point
55     v_petit(2, end) = 31; % Coordonnee y de l'avant-dernier point
56
57     v_grand = [25,-1,absopt;80,80,sol];
58     %Reorganiser les sommets
59     v_grand(1, end) = 20; % Coordonnee x de l'avant-dernier
        point
60     v_grand(2, end) = 30; % Coordonnee y de l'avant-dernier point
61     v_grand(1, 3) = -1; % Coordonnee x de l'avant-dernier point
62     v_grand(2, 3) = 31; % Coordonnee y de l'avant-dernier point
63
64     sh_petit = myPolygon(reshape(v_petit,2,[]));
65     sh_grand = myPolygon(reshape(v_grand,2,[]));
66     P_petit = sh_petit.perim();
67     P_grand = sh_grand.perim();
68
69
70     VP = sh_petit.int(f1); %vrai positif
71     FN = sh_grand.int(f1);%-sh_petit.int(@f1); %faux negatifs
72     FP = sh_petit.int(f2);
73     VN = sh_grand.int(f2);%-sh_petit.int(@f2);
74
75
76     % disp(strcat("VP = ",num2str(VP)))
77     % disp(strcat("FP = ",num2str(FP)))
78     % disp(strcat("VN = ",num2str(VN)))
79     % disp(strcat("FN = ",num2str(FN)))
80

```

```

81     f = omega2*(P_petit) + (1-omega2)*(-(omega)*VP - (1-omega)
      *VN + omega3*beta / 2 * (FP - eps)^2 + (1-omega3)*beta
      /2 * (FN- eps)^2 );
82
83     J = f;
84
85     ConstrVals = [];
86     end
87 %%
88 figure;
89     sol = x(1,:); % Seuls les points de la frontiere sont
      optimises
90
91     sol_petit = [-1,3, absopt(end:-1:1); -5,-5 ,flip(sol)
      ];
92     % Fixer le 3e point de sol_petit a (20, 30)
93     sol_petit(1, 3) = 20; % Coordonnee x du 3e point
94     sol_petit(2, 3) = 30; % Coordonnee y du 3e point
95     sol_petit(1, end) = -1; % Coordonnee x de l'avant-
      dernier point
96 sol_petit(2, end) = 32; % Coordonnee y de l'avant-dernier
      point
97     x1 = sol_petit';
98
99     forme1 = myPolygon(x1,2);
100
101
102     sol_grand = [25,-1,absopt;80,80,sol];
103
104 % Fixer l'avant-dernier point de sol_grand a (20, 30)
105 sol_grand(1, end) = 20; % Coordonnee x de l'avant-dernier
      point
106 sol_grand(2, end) = 30; % Coordonnee y de l'avant-dernier
      point
107 sol_grand(1, 3) = -1; % Coordonnee x de l'avant-dernier point
108 sol_grand(2, 3) = 32; % Coordonnee y de l'avant-dernier point
109
110     x2 = sol_grand';
111
112     forme2 = myPolygon(x2,2);
113
114     J1 = forme1.int(f1);
115     J2 = forme1.int(f2);
116     J3 = forme2.int(f2);
117     J4= forme2.int(f1);

```

```

118     xx=linspace(-10,30,100);
119     y=linspace(-10,100,100);
120 hold on
121     [X,Y] = meshgrid(xx,y);
122
123     contour(X,Y,f1(X,Y), 10,'g');
124     contour(X,Y,f2(X,Y), 10,'r');
125     scatter(0,0,'r','filled','displayname','X0');%hold off
126     legend(); grid on;
127
128     sgtitle(sprintf('Le taux de vrai positif : %.4f\nLe
        taux faux positif : %.4f\nLe taux de vrai n gatif
        : %.4f\nLe taux de faux negatif : %.4f', J1, J2,J3,
        J4));
129     axis normal
130     polysh_petit=polyshape(x1);
131     polysh_petit.plot;
132     polysh_grand=polyshape(x2);
133     polysh_grand.plot;
134     hold off

```

Listing 5 – Code MATLAB

8.4.3 Morceau de code à changer afin de modifier le sommet fixe

```

1  absopt = linspace(-1, x_sommet-2, nb);
2
3  x_sommet= 15;
4  y_sommet=27;
5  a=(-5-y_sommet)/(3-x_sommet);
6  b= y_sommet - a*x_sommet;
7
8  lb = zeros(1, nb); % Initialisation du vecteur
9  for i = 0:nb-1
10     valeur_test = (-1 + i * (x_sommet + 1) / (nb - 1));
11
12     if valeur_test < 3
13         lb(i+1) = -5 + 1e-6; % i+1 car MATLAB indexe a partir
            de 1
14     else
15         lb(i+1) = a * valeur_test + b + 1e-6;
16     end
17 end

```

Listing 6 – Code MATLAB

8.5 Annexe 5 : Autre approche pour garantir la convexité des polygones

On a rapidement pensé à considérer d'autres paramètres que le périmètre seul pour obtenir une figure convexe. Notamment le rapport $\frac{\text{perimetre}}{\text{volume}}$ du polygone. En effet, en minimisant ce paramètre, on maximise le volume en minimisant le périmètre avec, pour rapport minimal, une figure proche d'un disque.

Cette expression a le mérite d'avoir un gradient explicitement calculable à partir des dérivées de formes :

$$\nabla \cdot \frac{p}{V} = \frac{p \nabla \cdot V - V \nabla \cdot p}{V^2}$$

Ainsi, on peut directement changer la fonction objectif de notre optimisation tout en gardant une résolution par dérivées de formes pour limiter le temps de calcul. Au préalable, bien que la fonction ne soit pas trop complexe, les résultats donnés par ce gradient ont été comparés à ceux obtenus par différences finies.

Le code a donc été modifié de sorte que ce rapport remplace le périmètre dans la fonction objectif :

```

1 function [f, Ex, Ey, Sx, Sy] = f1(x,y)
2 % 2D normal distribution
3 Ex = 0; Sx = 0.2;
4 Ey = 1; Sy = 0.2;
5 fx = exp( -0.5*((x-Ex)/Sx).^2 ) / (Sx * sqrt(2*pi));
6 fy = exp( -0.5*((y-Ey)/Sy).^2 ) / (Sy * sqrt(2*pi));
7 f = fx .* fy ;
8 end
9
10 function g = grad_f1(x,y)
11 % gradient of f1
12 [f, Ex, Ey, Sx, Sy] = f1(x,y);
13 g = f .* [(2*Ex - 2*x)/(2*Sx^2), (2*Ey - 2*y)/(2*Sy^2)];
14 end
15
16
17 function [f, Ex, Ey, Sx, Sy] = f2(x,y)
18 % 2D normal distribution

```

```

19 Ex = 0; Sx = 0.2;
20 Ey = 1.3; Sy = 0.2;
21 fx = exp( -0.5*((x-Ex)/Sx).^2 ) / (Sx * sqrt(2*pi));
22 fy = exp( -0.5*((y-Ey)/Sy).^2 ) / (Sy * sqrt(2*pi));
23 f = fx .* fy ;
24 end
25
26 function g = grad_f2(x,y)
27 % gradient of f2
28 [f, Ex, Ey, Sx, Sy] = f2(x,y);
29 g = f .* [(2*Ex - 2*x)/(2*Sx^2), (2*Ey - 2*y)/(2*Sy^2)];
30 end
31
32
33 % plot
34 [x,y] = meshgrid(-1:0.05:1, -0.1:0.05:1.9);
35 surf(x,y,f1(x,y),'facecolor','g','facealpha',0.5, 'edgealpha'
    ,0.2,'displayname','f1'); hold on
36 surf(x,y,f2(x,y),'facecolor','r','facealpha',0.5, 'edgealpha'
    ,0.2,'displayname','f2');
37 scatter(0,0,'r','filled','displayname','X0'); hold off
38 legend(); grid on; title("Probability densities");
39
40 nCote = 10;
41 noise = 0;
42 radius = 0.9;
43 t = (2*pi/nCote:2*pi/nCote:2*pi)-pi/2; t = t(1:end-1);
44 R = radius * (1 + noise*(rand(1,nCote-1)-0.5));
45 X0 = [0;0]; center = X0 + [0; radius];
46 problem.x0 = R.*[cos(t);sin(t)] + center;
47 shpInit = myPolygon([X0, problem.x0]);
48 global r0
49 r0 = ratio(shpInit)
50 global p0
51 p0 = shpInit.perim()
52 shpInit.plot(); hold on
53 surf(x,y,f1(x,y),'facecolor','g','facealpha',0.3, 'edgealpha'
    ,0.2,'displayname','f1');
54 surf(x,y,f2(x,y),'facecolor','r','facealpha',0.3, 'edgealpha'
    ,0.2,'displayname','f2'); hold off
55 view(-40,40); axis normal
56
57 function [f, g] = obj(v)
58 % objective function
59 global r0

```

```

60 omega = 0; % optimal choice depends on number of points
61 beta = 1000;
62 eps = 0.01;
63 X0 = [0;0]; vall = [X0 , v]; % we fix X0
64 try
65     sh = myPolygon(reshape(vall,2,[]));
66     r = ratio(sh); F1 = sh.int(@f1); F2 = sh.int(@f2);
67     % f = omega * r/r0 - (1-omega) * F1 + beta / 2 * (F2 - eps
68         )^2 ;
69     f = omega * sh.perim()/p0 - (1-omega) * F1 + beta / 2 * (
70         F2 - eps)^2 ; f = omega * sh.perim()/p0 - (1-omega) * F1
71         + beta / 2 * (F2 - eps)^2 ;
72     % g = omega * grad_r(sh)/r0 - (1-omega) * gradF(sh,sh.
73         dInt(@f1, @grad_f1)) ...
74     % + beta * (F2 - eps) * gradF(sh,sh.dInt(@f2, @grad_f2
75         ));
76     % g = g(:); g = g(3:end);
77 catch; f = NaN; g = NaN(size(v));
78 end
79 end
80
81 function rapport = ratio(sh)
82
83     % Calcul des grandeurs
84     V = sh.vol();
85     p = sh.perim();
86
87     % Calcul du rapport
88     rapport = p/V;
89 end
90
91 function gradient_ratio = grad_r(sh)
92     % Calcul des d r i v e s de formes
93     dV = sh.dVol();
94     dp = sh.dPerim();
95
96     % Calcul des gradients
97     gradV = sh.grad(dV);
98     gradp = sh.grad(dp);
99
100     % Calcul des grandeurs
101     V = sh.vol();
102     p = sh.perim();
103
104     % Calcul du gradient final

```

```

100     gradient_ratio = (V * gradp - p * gradV) / V^2;
101 end
102
103 function gradient = gradF(sh,dF)
104     gradient = sh.grad(dF);
105 end
106
107 algo = "interior-point";
108 display = 'iter';
109 sdgrad = false;
110 maxfeval = 1000;
111 maxiter = 100;
112 options = optimoptions('fmincon', ...
113     'Display', display, ...
114     'Algorithm', algo, ...
115     'SpecifyObjectiveGradient', sdgrad, ...
116     'MaxFunctionEvaluations', maxfeval,...
117     'MaxIterations', maxiter,...
118     'ConstraintTolerance', 1e-6,...
119     'ScaleProblem', true,...
120     'EnableFeasibilityMode', true,...
121     'SubproblemAlgorithm', "cg",...
122     'StepTolerance', 1e-8,...
123     'FunctionTolerance', 1e-8);
124 problem.options = options;
125 problem.solver = 'fmincon';
126 problem.objective = @obj;
127
128 tic;
129 sol = fmincon(problem);
130 t = toc;
131
132 shpSol = myPolygon([0;0],sol]);
133 shpSol.plot();
134 hold on
135 surf(x,y,f1(x,y),'facecolor','g','facealpha',0.3, 'edgealpha'
136     ,0.2,'displayname','f1');
137 surf(x,y,f2(x,y),'facecolor','r','facealpha',0.3, 'edgealpha'
138     ,0.2,'displayname','f2'); hold off
139 view(-40,40); axis normal
140 title(['Optimized Shape (t = ', num2str(t,3), ' s)'])
141 subtitle(['int(F1) = ', num2str(shpSol.int(@f1),'%.2e'),...
142     ' | $\frac{p}{V}$ = (', num2str(ratio(shpSol),'%.2e)'),...
143     '$\Omega^{-1}$ | int(F2) = ', num2str(shpSol.int(@f2),'%.2
144     e')], 'Interpreter', 'latex')

```

Listing 7 – Code MATLAB

Ce code permet, en partant d'un décagone régulier, d'obtenir un décagone convexe aux performances de détection comparables à ce qui a été trouvé en utilisant le périmètre pour garantir la convexité.

On notera qu'après plusieurs tentatives infructueuses, on a normalisé le rapport en le divisant par le rapport initial.

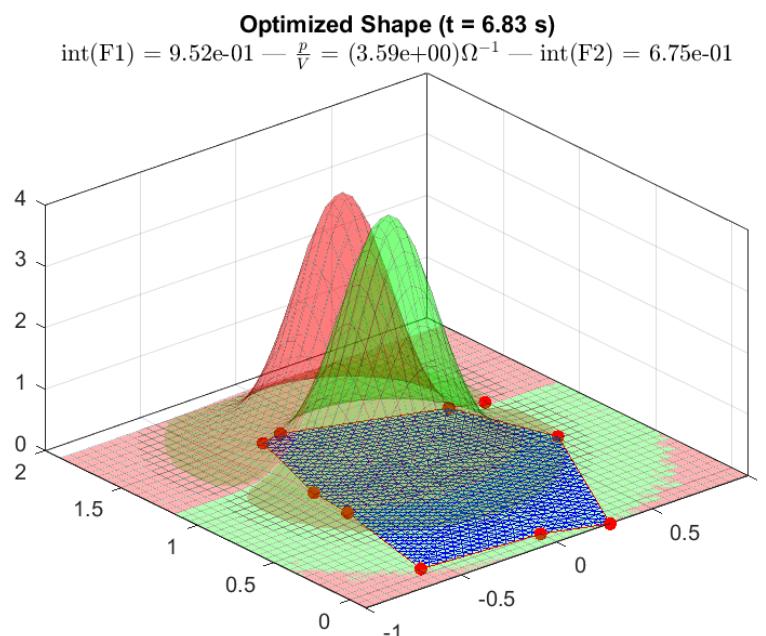


FIGURE 24 – Décagone obtenu avec la fonction objectif contenant le rapport $\frac{p}{V}$

Malheureusement, le code fourni prenant en compte le périmètre ne compile plus et ne permet pas d'obtenir une figure comparative.